

Fig.1

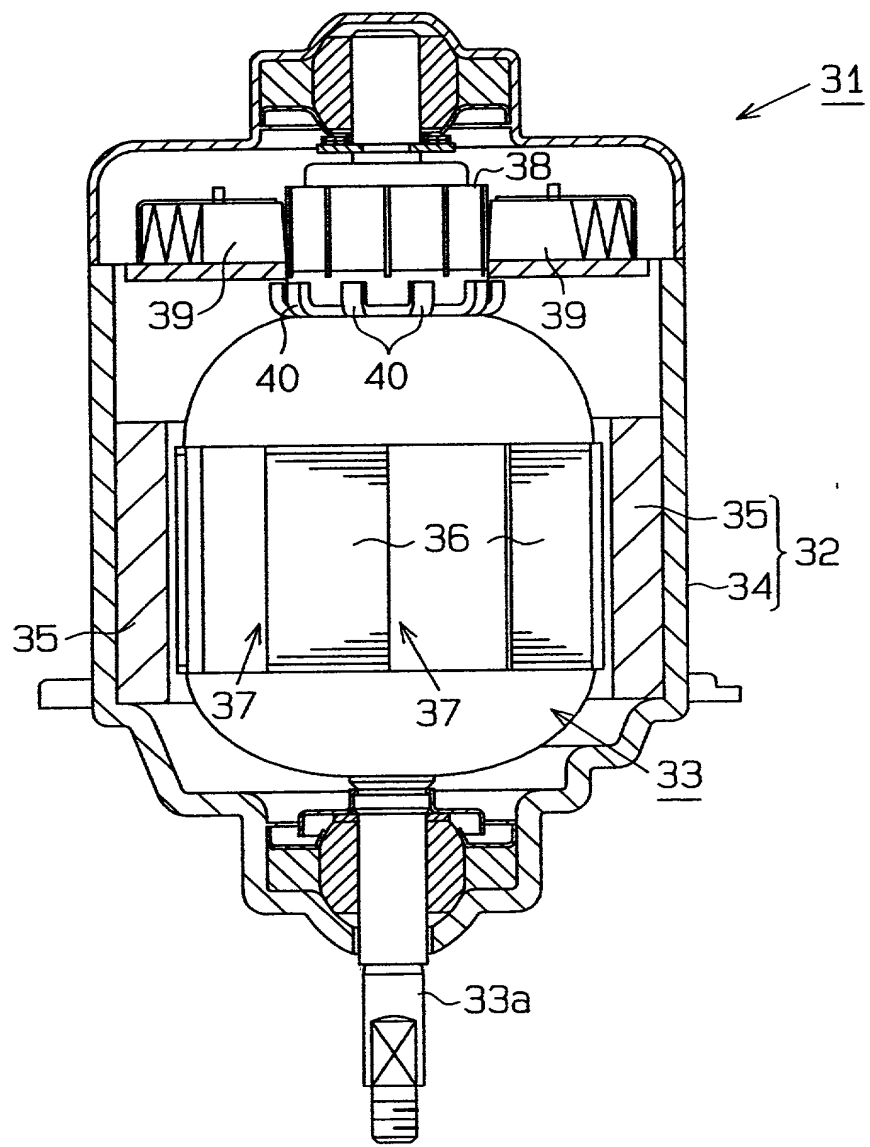


Fig.2

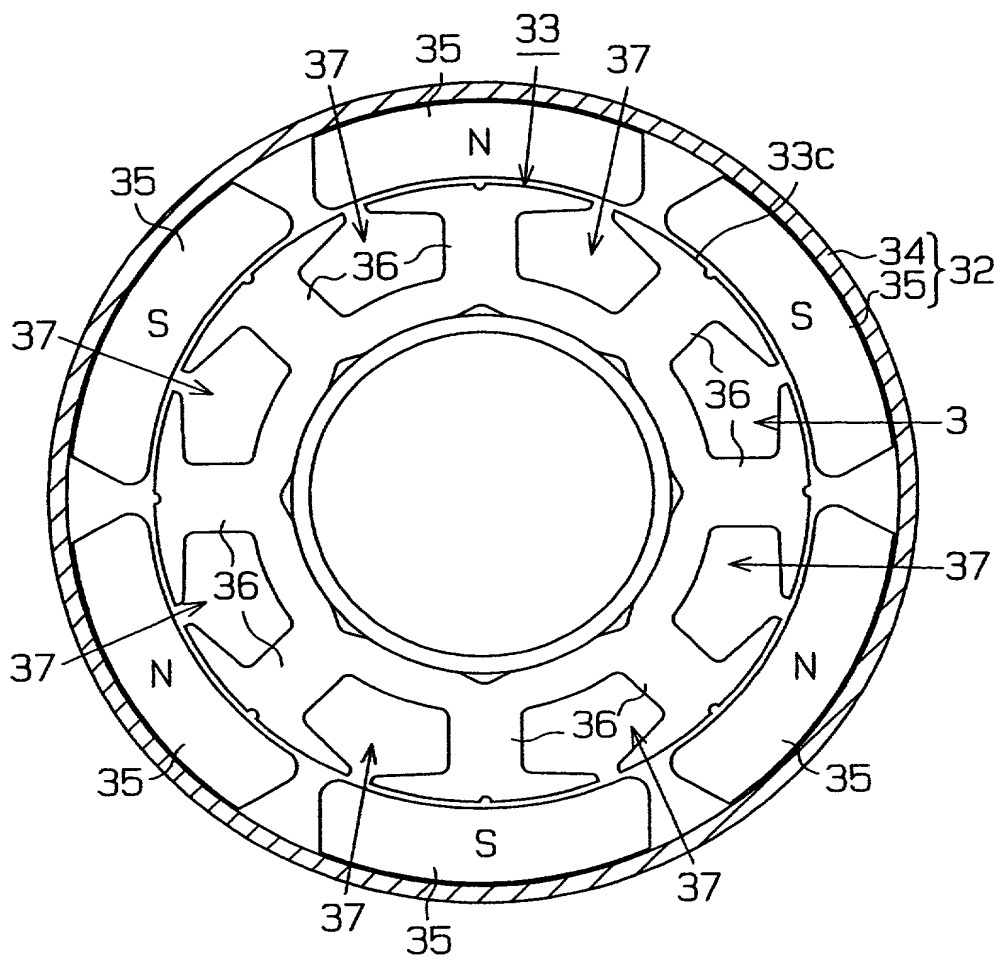


Fig. 3

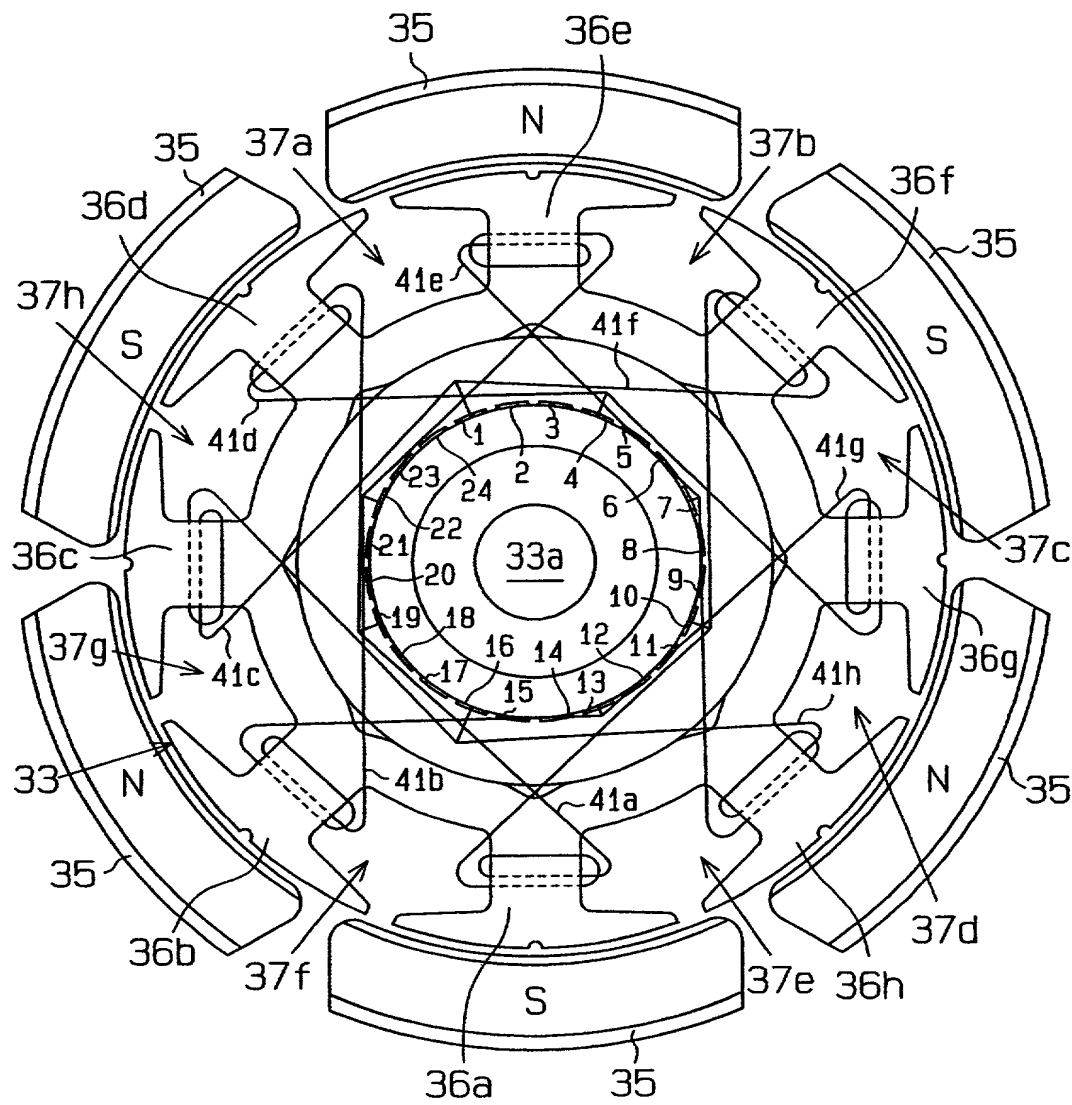


Fig. 4

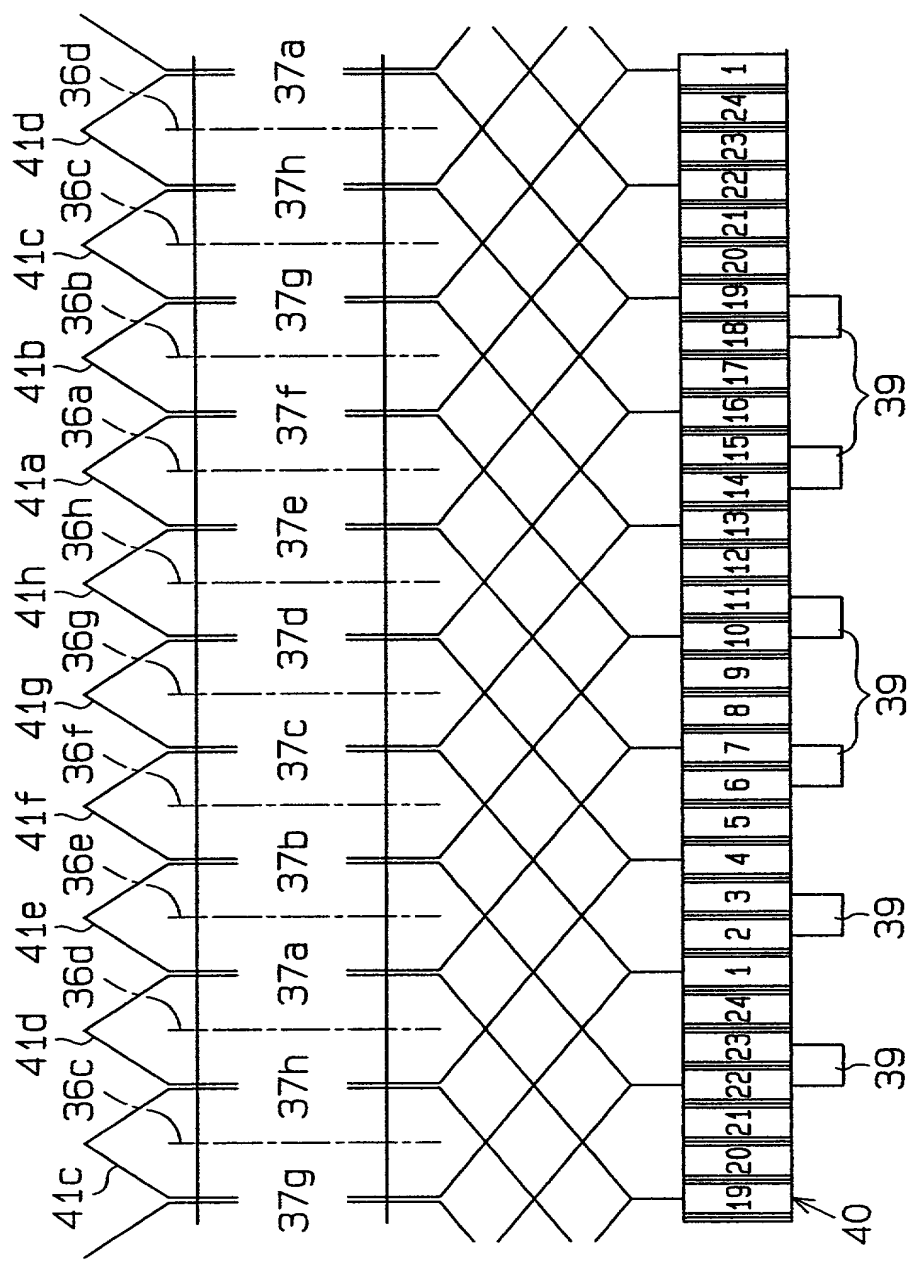


Fig5 (a)

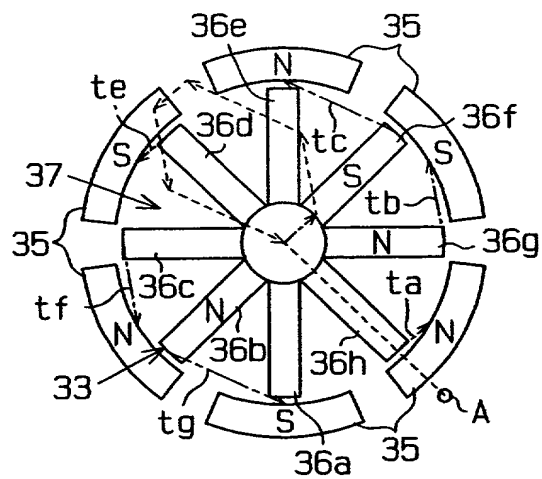


Fig5 (d)

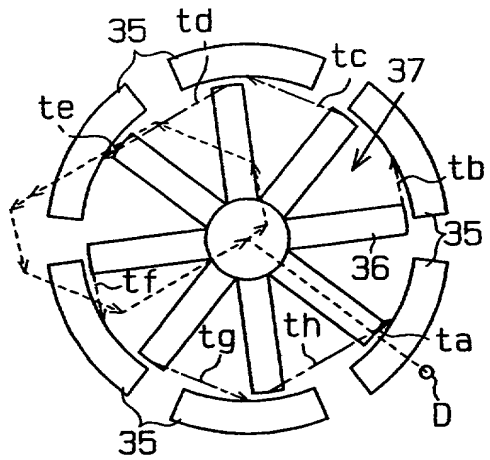


Fig.5 (b)

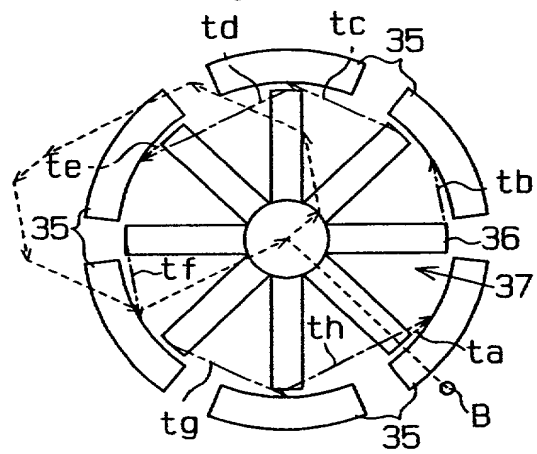


Fig5 (e)

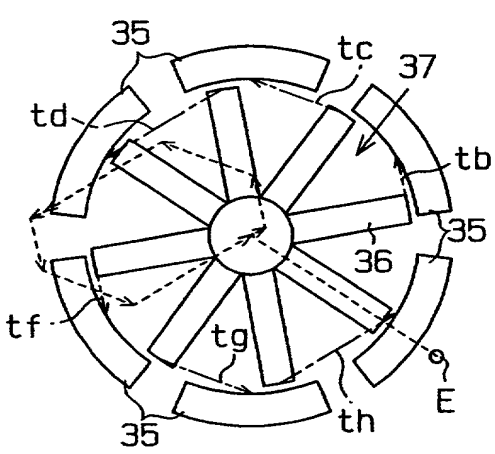


Fig.5 (c)

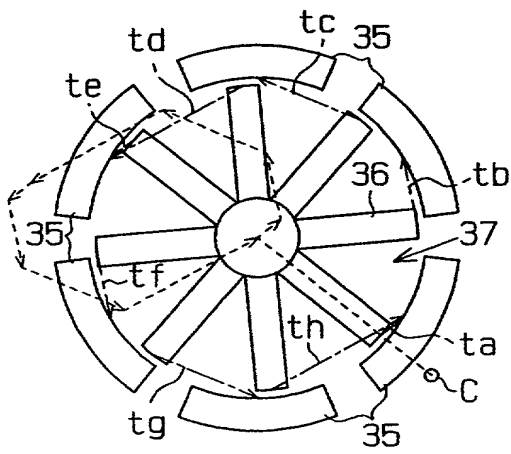


Fig5 (f)

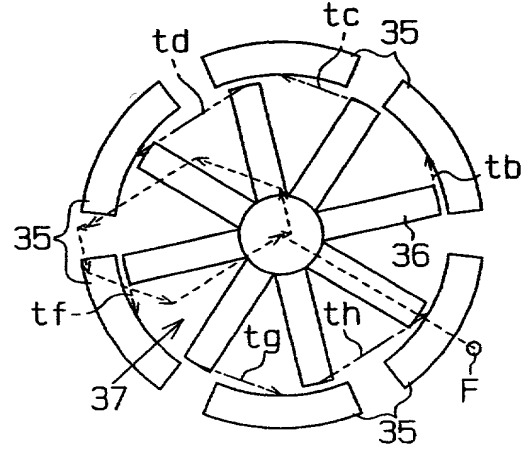


Fig. 6

		n								
		3	4	5	6	7	8	9	10	
2m	2 K	0.866	0.707	0.588	0.500	0.434	0.383	0.342	0.309	
	2 TF	0.866	0.000	0.363	0.000	0.241	0.000	0.182	0.000	
	2 NF	0.500	0.000	1.118	0.000	0.945	0.000	1.032	0.000	
	2 H	6	4	10	6	14	8	18	10	
	4 K	0.866		0.951	0.866	0.782	0.707	0.643	0.588	
	4 TF	0.866		1.176	0.000	0.386	0.000	0.446	0.000	
	4 NF	0.500		0.000	0.000	1.247	0.000	1.347	0.000	
	4 H	12		20	12	28	8	36	20	
	6 K		0.707	0.951		0.975	0.924	0.866	0.809	
	6 TF		0.000	1.176		1.564	0.000	0.000	0.000	
	6 NF		0.000	0.000		0.445	0.000	0.000	0.000	
	6 H		12	30		42	24	18	30	
	8 K			0.588	0.866	0.975		0.985	0.951	
	8 TF			0.363	0.000	1.564		1.970	0.000	
	8 NF			1.118	0.000	0.445		0.879	0.000	
	8 H			40	24	56		72	40	
	10 K				0.500	0.782	0.924	0.985		
	10 TF				0.000	0.386	0.000	1.970		
	10 NF				0.000	1.247	0.000	0.879		
	10 H				30	70	40	90		
	12 K					0.434	0.707	0.866	0.951	
	12 TF					0.241	0.000	0.000	0.000	
	12 NF					0.945	0.000	0.000	0.000	
	12 H					84	24	36	60	
	14 K	0.866					0.383	0.643	0.809	
	14 TF	0.866					0.000	0.446	0.000	
	14 NF	0.500					0.000	1.347	0.000	
	14 H	42					56	126	70	
	16 K	0.866						0.342	0.588	
	16 TF	0.866						0.182	0.000	
	16 NF	0.500						1.032	0.000	
	16 H	48						144	80	
	18 K		0.707						0.309	
	18 TF		0.000						0.000	
	18 NF		0.000						0.000	
	18 H		36						90	
	20 K									
	20 TF									
	20 NF									
	20 H									
	22 K		0.707	0.588						
	22 TF		0.000	0.363						
	22 NF		0.000	1.118						
	22 H		44	110						
	24 K			0.951						
	24 TF			1.176						
	24 NF			0.000						
	24 H			120						

Radial Force Exists
 Nonfunctioning as Motor

Fig. 7

		n							
		11	12	13	14	15	16	17	18
2m	2 K	0.282	0.259	0.239	0.223	0.208	0.195	0.184	0.174
	2 TF	0.147	0.000	0.123	0.000	0.106	0.000	0.093	0.000
	2 NF	0.979	0.000	1.015	0.000	0.989	0.000	1.009	0.000
	2 H	22	12	26	14	30	16	34	18
	4 K	0.541	0.500	0.465	0.434	0.407	0.383	0.361	0.342
	4 TF	0.256	0.000	0.281	0.000	0.192	0.000	0.206	0.000
	4 NF	0.831	0.000	0.788	0.000	1.129	0.000	1.153	0.000
	4 H	44	12	52	28	60	16	68	36
	6 K	0.756	0.707	0.663	0.623	0.588	0.556	0.526	0.500
	6 TF	0.518	0.000	0.594	0.000	0.000	0.000	0.342	0.000
	6 NF	1.440	0.000	1.530	0.000	0.000	0.000	0.708	0.000
	6 H	66	12	78	42	30	48	102	18
	8 K	0.910	0.866	0.823	0.782	0.743	0.707	0.674	0.643
	8 TF	0.175	0.000	0.139	0.000	0.573	0.000	0.753	0.000
	8 NF	1.073	0.000	0.950	0.000	1.618	0.000	1.705	0.000
	8 H	88	24	104	56	120	16	136	72
	10 K	0.990	0.966	0.935	0.901	0.866	0.831	0.798	0.766
	10 TF	2.383	0.000	0.181	0.000	0.000	0.000	0.146	0.000
	10 NF	1.310	0.000	1.103	0.000	0.000	0.000	0.912	0.000
	10 H	110	60	130	70	30	80	170	90
	12 K	0.990		0.993	0.975	0.951	0.924	0.895	0.866
	12 TF	2.383		2.799	0.000	0.000	0.000	0.100	0.000
	12 NF	1.310		1.738	0.000	0.000	0.000	0.972	0.000
	12 H	132		156	84	60	48	204	36
	14 K	0.910	0.966	0.993		0.995	0.981	0.962	0.940
	14 TF	0.175	0.000	2.799		3.218	0.000	0.116	0.000
	14 NF	1.073	0.000	1.738		2.165	0.000	1.052	0.000
	14 H	154	84	182		210	112	238	126
	16 K	0.756	0.866	0.935	0.975	0.995		0.996	0.985
	16 TF	0.518	0.000	0.181	0.000	3.218		3.639	0.000
	16 NF	1.440	0.000	1.103	0.000	2.165		2.592	0.000
	16 H	176	48	208	112	240		272	144
	18 K	0.541	0.707	0.823	0.901	0.951	0.981	0.996	
	18 TF	0.256	0.000	0.139	0.000	0.000	0.000	3.639	
	18 NF	0.831	0.000	0.950	0.000	0.000	0.000	2.592	
	18 H	198	36	234	126	90	144	306	
	20 K	0.282	0.500	0.663	0.782	0.866	0.924	0.962	0.985
	20 TF	0.147	0.000	0.594	0.000	0.000	0.000	0.116	0.000
	20 NF	0.979	0.000	1.530	0.000	0.000	0.000	1.052	0.000
	20 H	220	60	260	140	60	80	340	180
	22 K		0.259	0.465	0.623	0.743	0.831	0.895	0.940
	22 TF		0.000	0.281	0.000	0.673	0.000	0.100	0.000
	22 NF		0.000	0.788	0.000	1.618	0.000	0.972	0.000
	22 H		132	286	154	330	176	374	198
	24 K			0.239	0.434	0.588	0.707	0.798	0.866
	24 TF			1.123	0.000	0.000	0.000	0.146	0.000
	24 NF			1.015	0.000	0.000	0.000	0.912	0.000
	24 H			312	168	120	48	408	72

Radial Force Nonfunctioning
Exists as Motor

Fig. 8

		n						
		19	20	21	22	23	24	25
2m	2 K	0.165	0.156	0.149	0.142	0.136	0.131	0.125
	2 TF	0.083	0.000	0.075	0.000	0.069	0.000	0.063
	2 NF	0.993	0.000	1.006	0.000	0.995	0.000	1.004
	2 H	38	20	42	22	46	24	50
	4 K	0.325	0.309	0.295	0.282	0.270	0.259	0.249
	4 TF	0.154	0.000	0.163	0.000	0.129	0.000	0.135
	4 NF	0.895	0.000	0.880	0.000	1.088	0.000	1.099
	4 H	76	20	84	44	92	24	100
	6 K	0.476	0.454	0.434	0.415	0.398	0.383	0.368
	6 TF	0.375	0.000	0.000	0.000	0.257	0.000	0.275
	6 NF	0.669	0.000	0.000	0.000	1.220	0.000	1.241
	6 H	114	60	42	66	138	24	150
	8 K	0.614	0.588	0.563	0.541	0.520	0.500	0.482
	8 TF	0.099	0.000	0.087	0.000	0.442	0.000	0.476
	8 NF	0.960	0.000	1.032	0.000	0.594	0.000	0.556
	8 H	152	40	168	88	184	24	200
	10 K	0.736	0.707	0.680	0.655	0.631	0.609	0.588
	10 TF	0.835	0.000	0.917	0.000	0.103	0.000	0.000
	10 NF	1.792	0.000	1.878	0.000	0.941	0.000	0.000
	10 H	190	20	210	110	230	120	50
	12 K	0.837	0.809	0.782	0.756	0.731	0.707	0.685
	12 TF	0.088	0.000	0.000	0.000	0.999	0.000	1.082
	12 NF	1.022	0.000	0.000	0.000	1.964	0.000	2.050
	12 H	228	60	84	132	276	24	300
	14 K	0.916	0.891	0.866	0.841	0.817	0.793	0.771
	14 TF	0.222	0.000	0.000	0.000	0.173	0.000	0.077
	14 NF	1.176	0.000	0.000	0.000	0.866	0.000	0.967
	14 H	266	140	42	154	322	168	350
	16 K	0.969	0.951	0.931	0.910	0.888	0.866	0.844
	16 TF	0.119	0.000	0.239	0.000	0.071	0.000	0.065
	16 NF	1.065	0.000	1.198	0.000	1.015	0.000	0.988
	16 H	304	80	336	176	368	48	400
	18 K	0.997	0.988	0.975	0.959	0.942	0.924	0.905
	18 TF	4.060	0.000	0.000	0.000	0.077	0.000	0.106
	18 NF	3.018	0.000	0.000	0.000	0.974	0.000	0.932
	18 H	342	180	126	198	414	72	450
	20 K	0.997		0.997	0.990	0.979	0.966	0.951
	20 TF	4.060		4.481	0.000	0.087	0.000	0.000
	20 NF	3.018		3.444	0.000	1.040	0.000	0.000
	20 H	380		420	220	460	120	100
	22 K	0.969	0.988	0.997		0.998	0.991	0.982
	22 TF	0.119	0.000	4.481		4.904	0.000	0.088
	22 NF	1.065	0.000	3.444		3.869	0.000	1.047
	22 H	418	220	462		506	264	550
	24 K	0.916	0.951	0.975	0.990	0.998	1.000	0.998
	24 TF	0.222	0.000	0.000	0.000	4.904	0.000	5.326
	24 NF	1.176	0.000	0.000	0.000	3.869	0.000	4.295
	24 H	456	120	168	264	552	24	600

■ Radial Force Exists
 ■ Nonfunctioning as Motor

Fig. 9 (a)

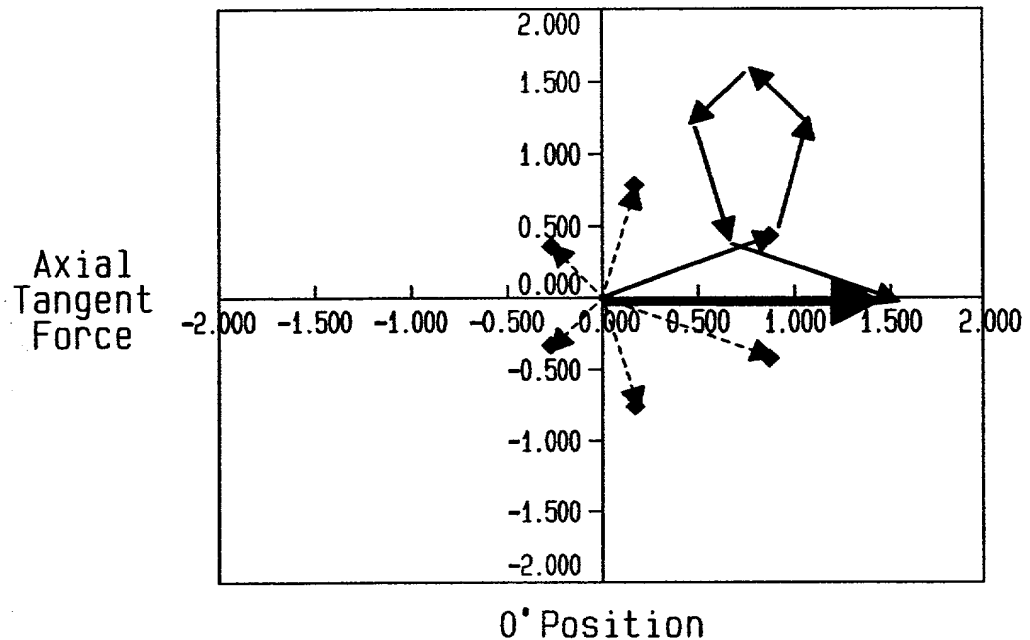


Fig. 9 (b)

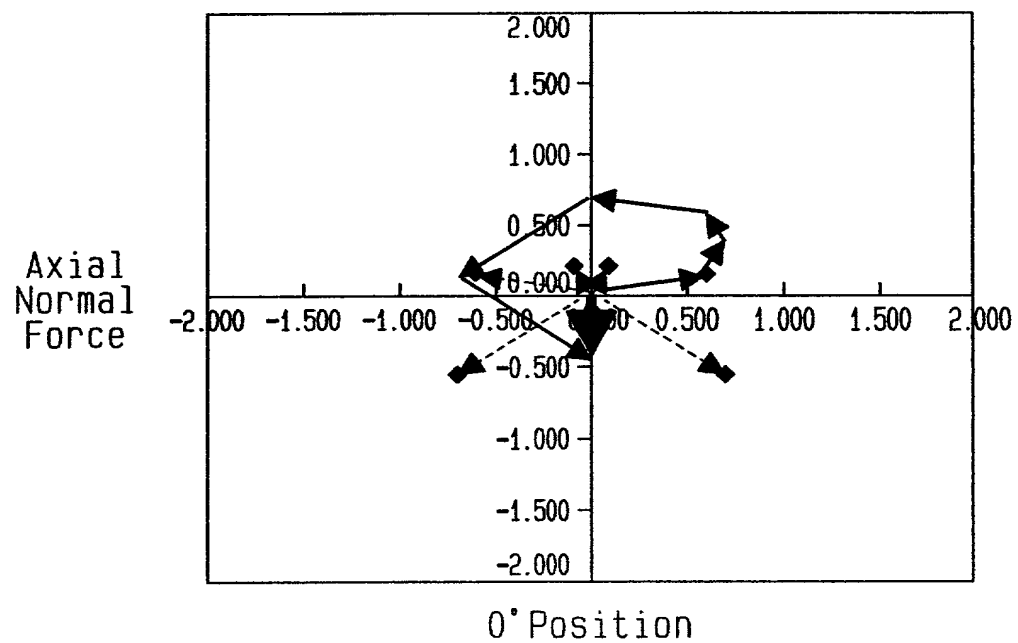


Fig.10(a)

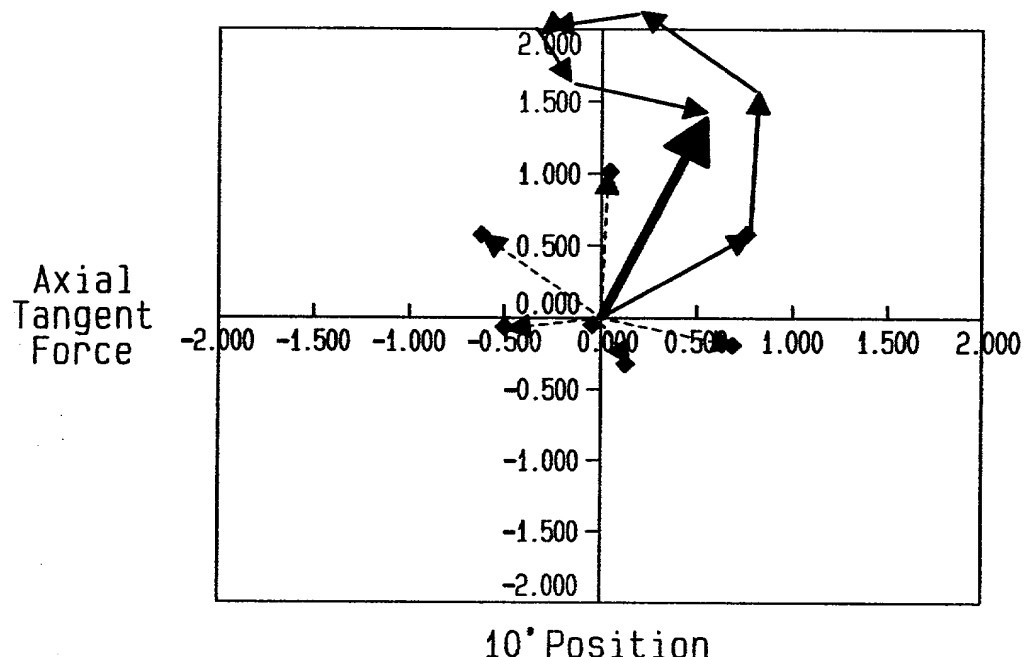


Fig.10(b)

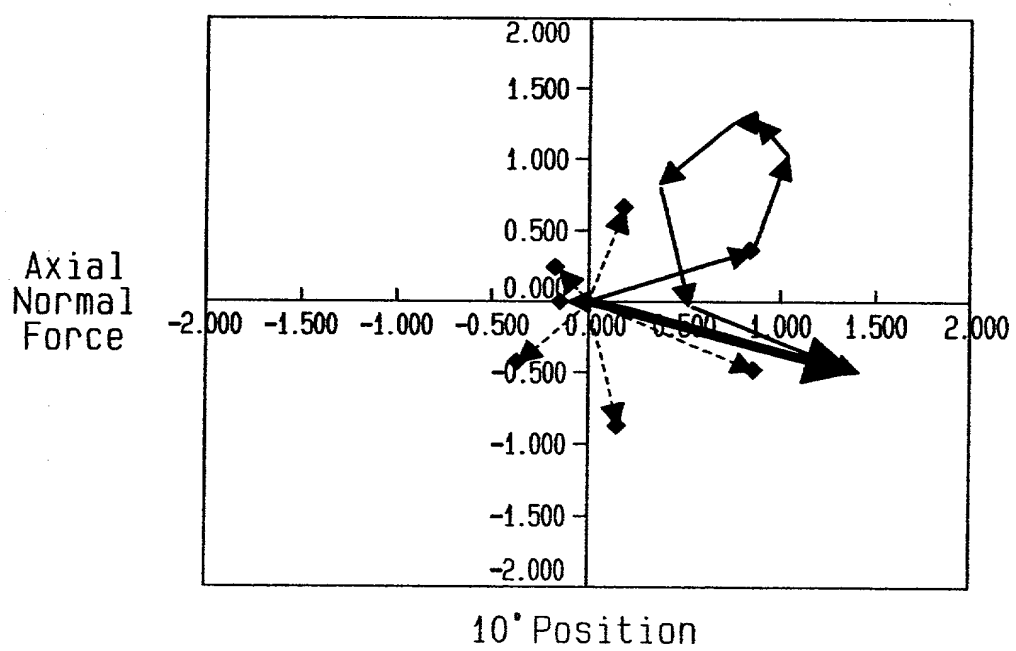


Fig.11 (a)

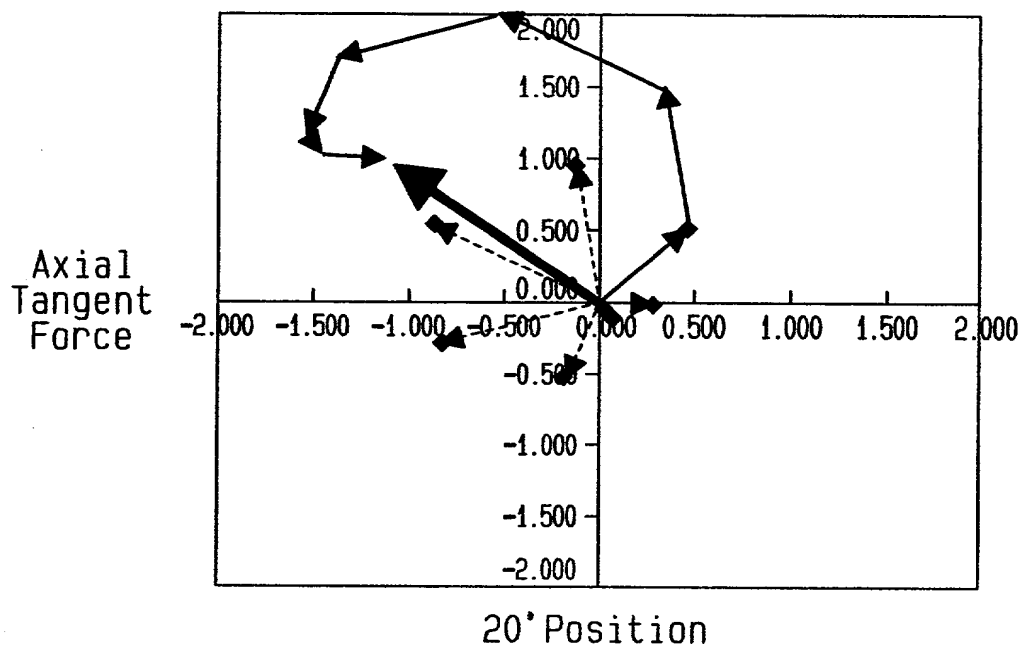


Fig.11 (b)

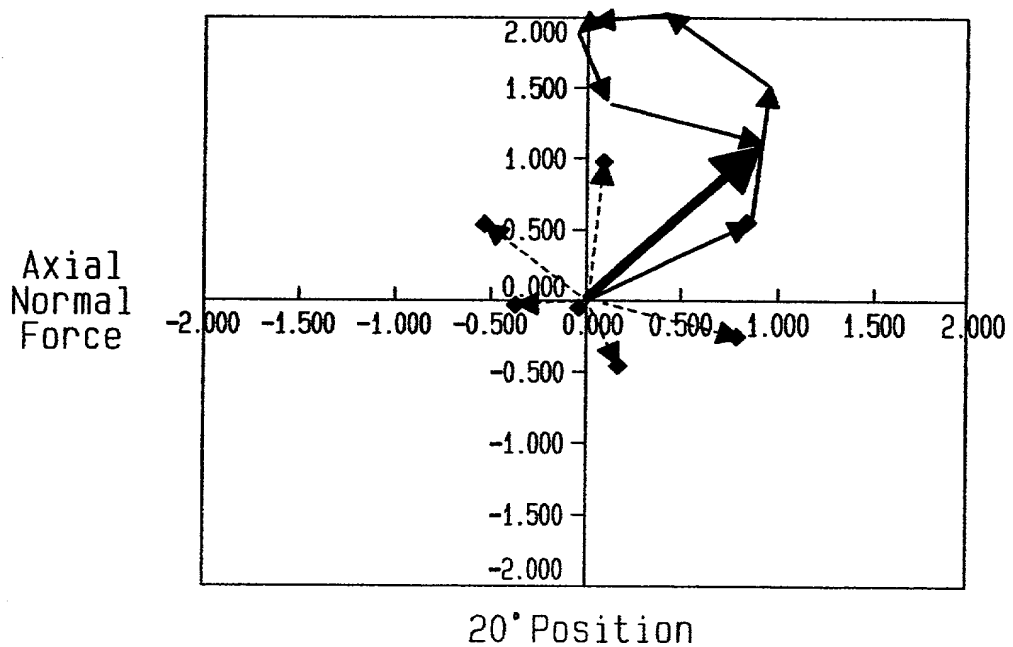


Fig.12 (a)

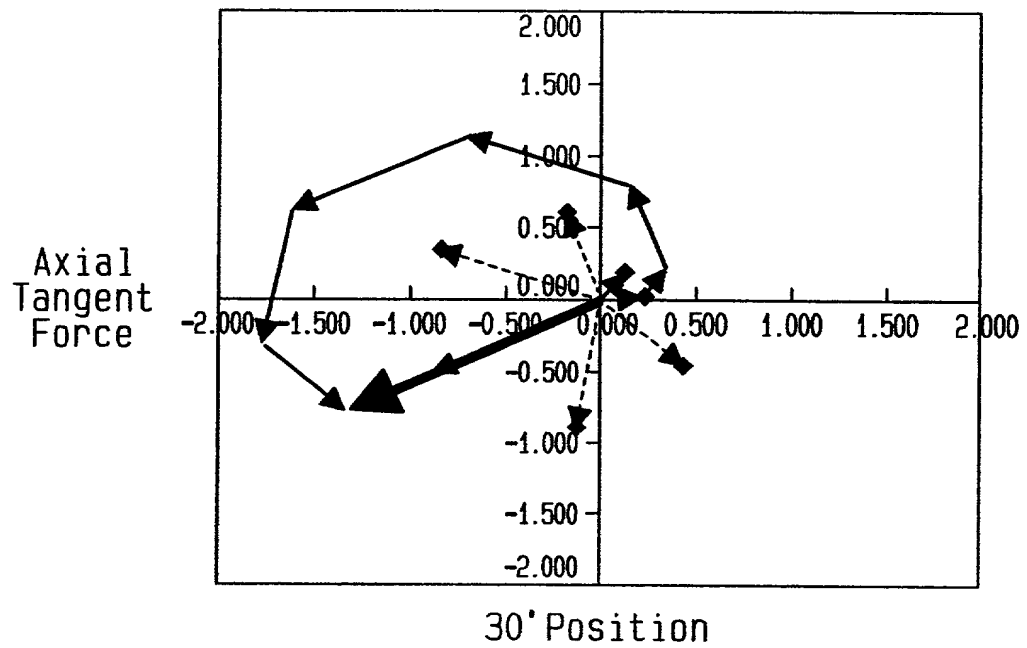


Fig.12 (b)

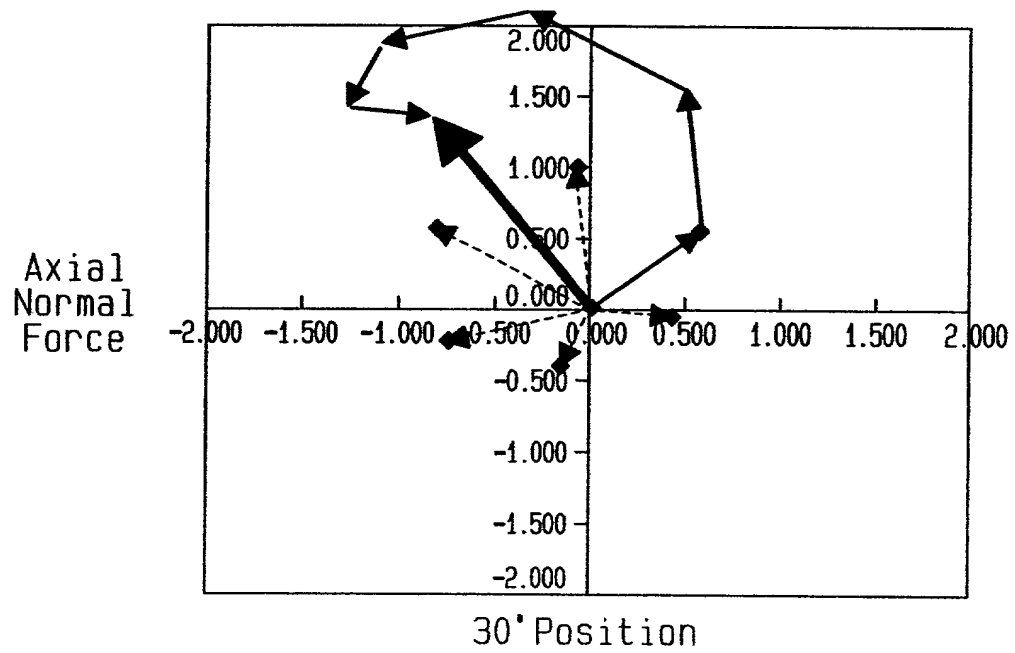
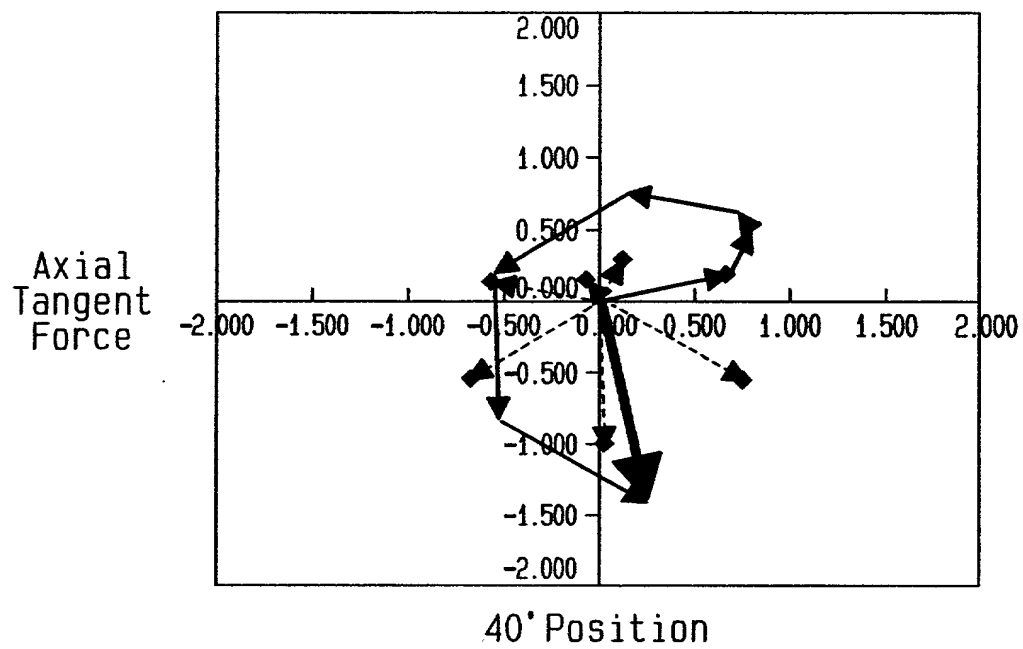
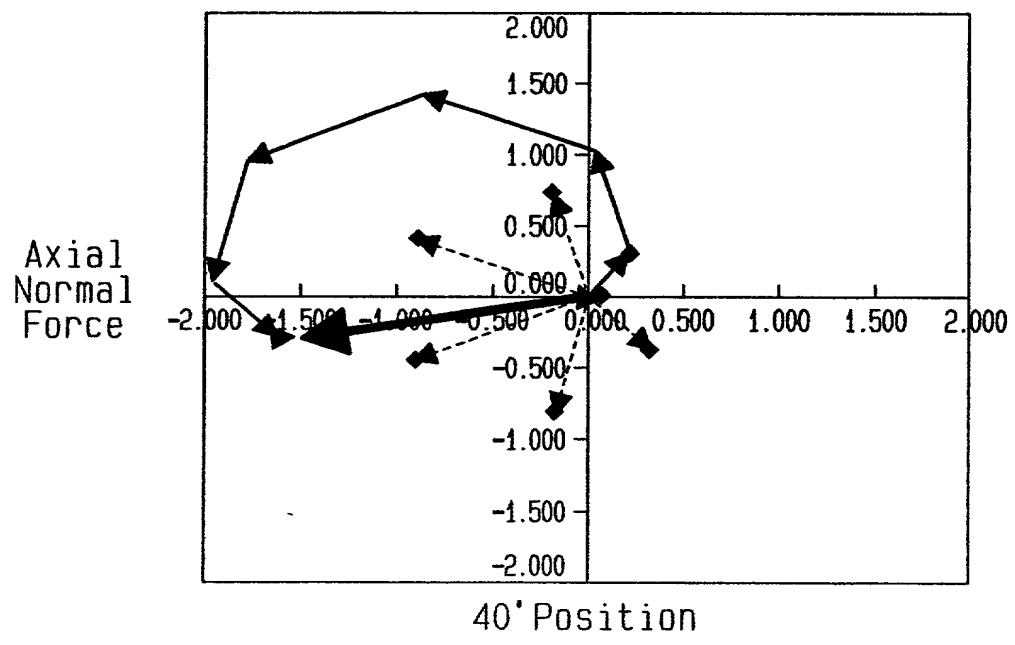


Fig.13 (a)



40' Position

Fig.13 (b)



40' Position

Fig.14(a)

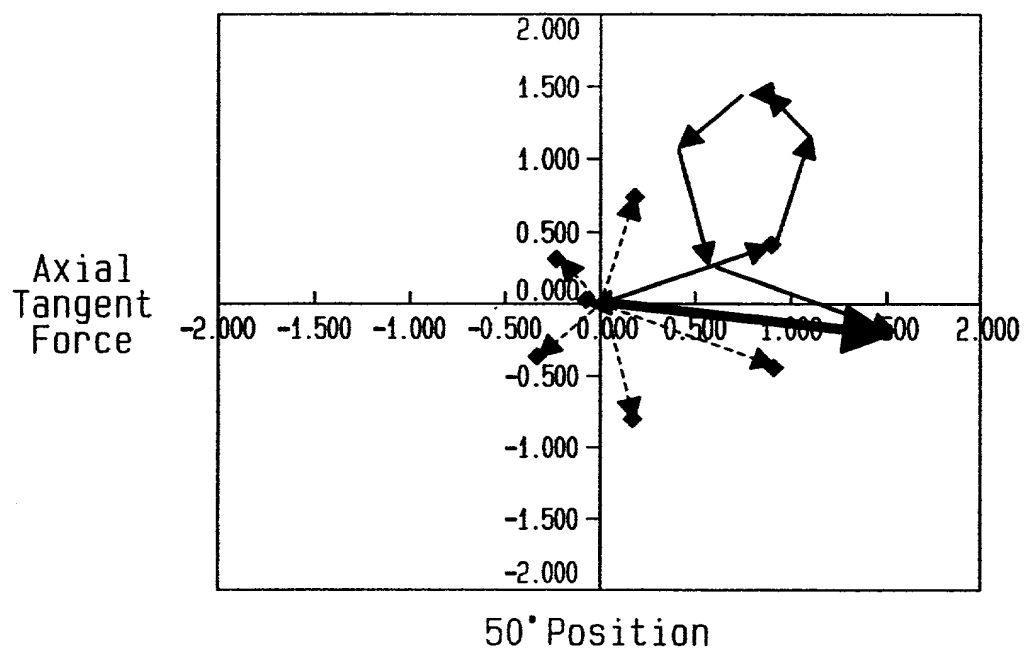


Fig.14(b)

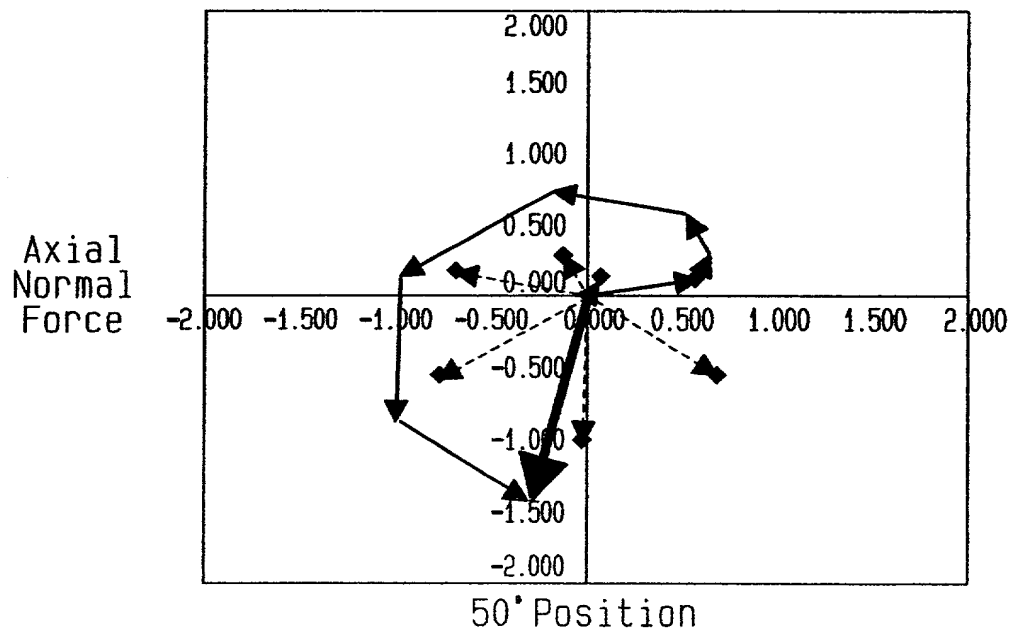


Fig.15(a)

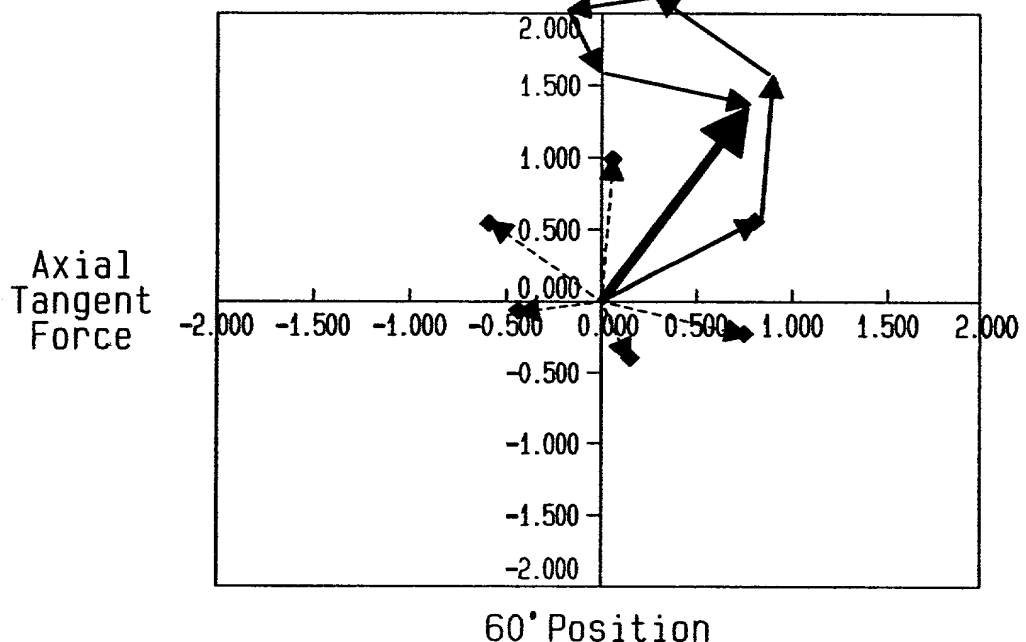


Fig.15(b)

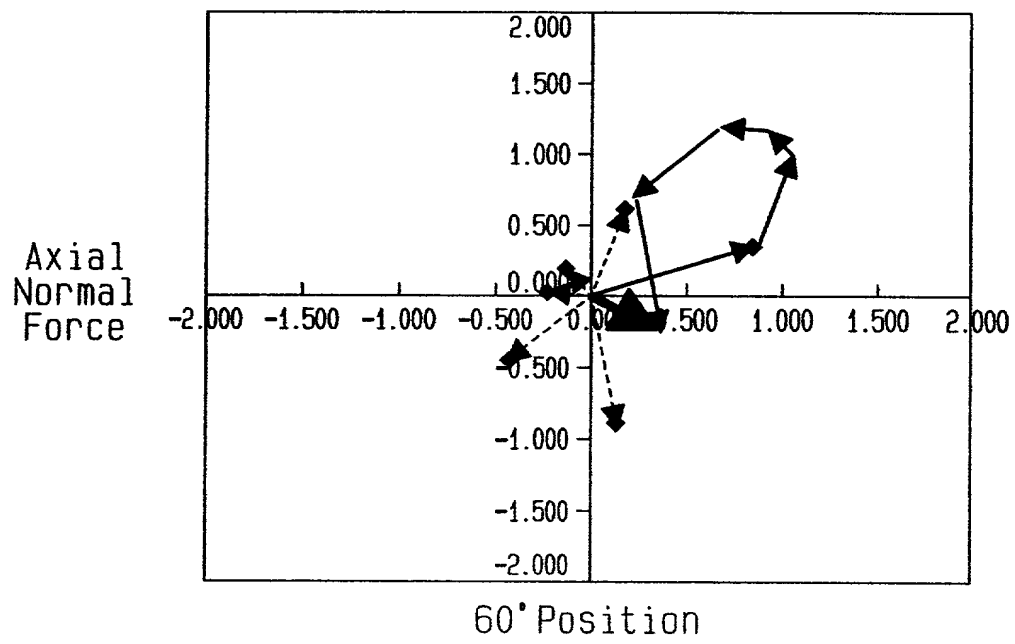


Fig.16(a)

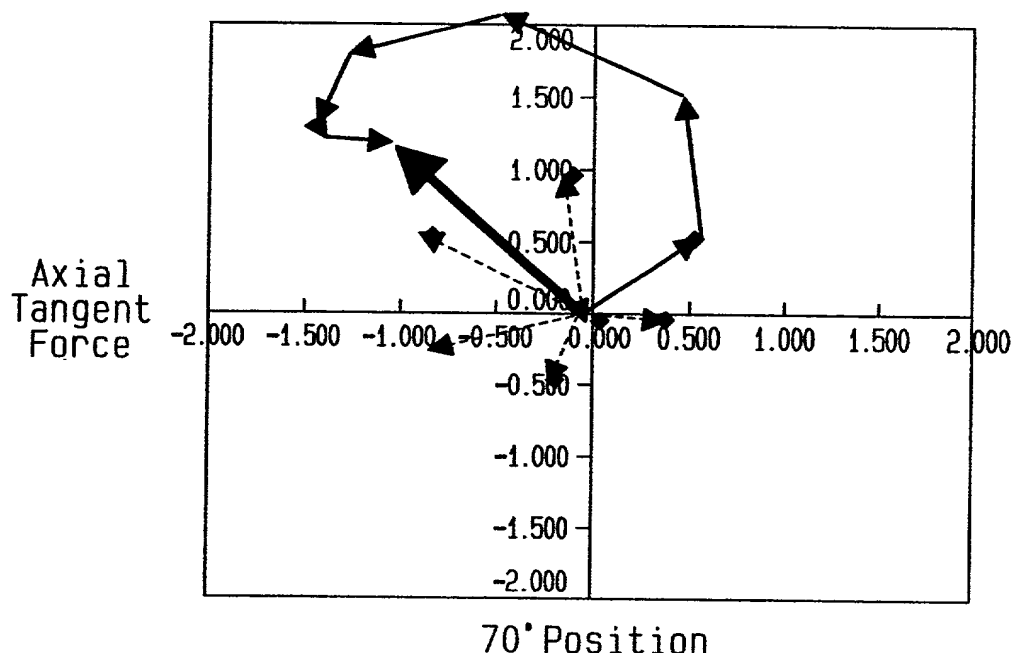


Fig.16(b)

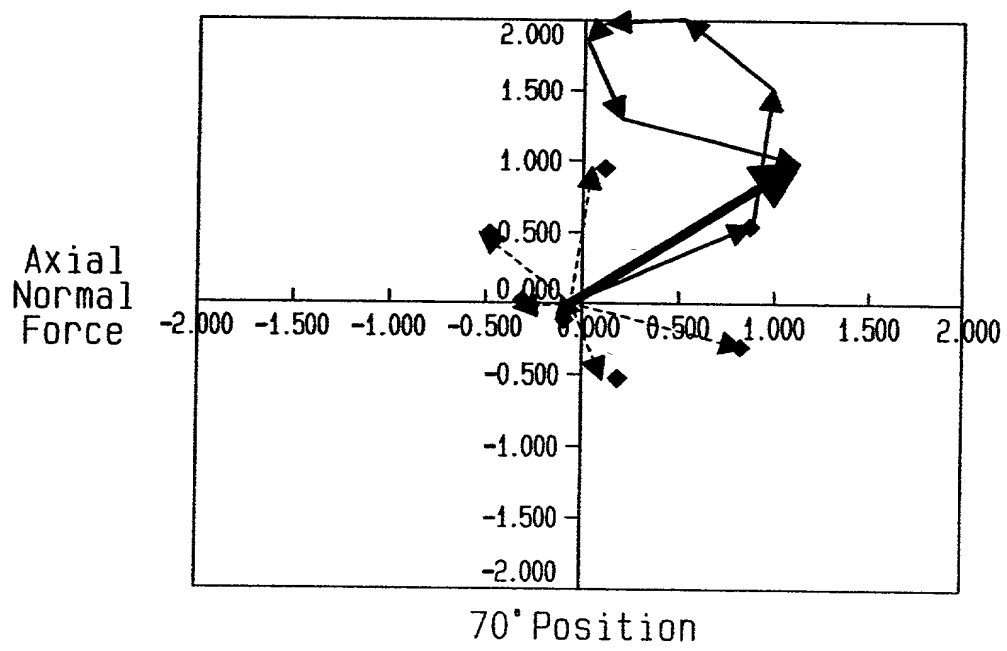


Fig.17 (a)

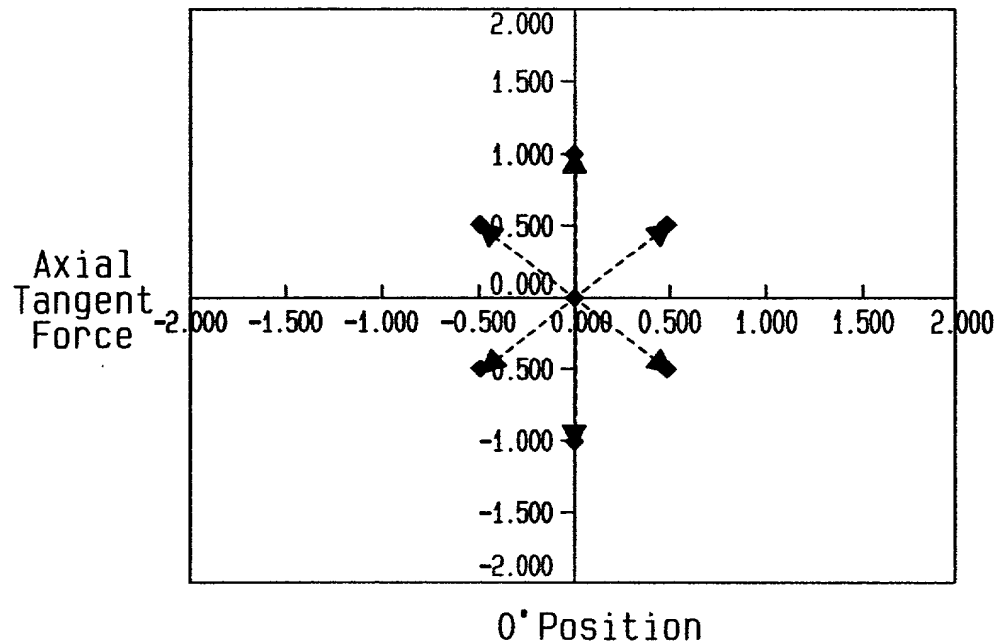


Fig.17 (b)

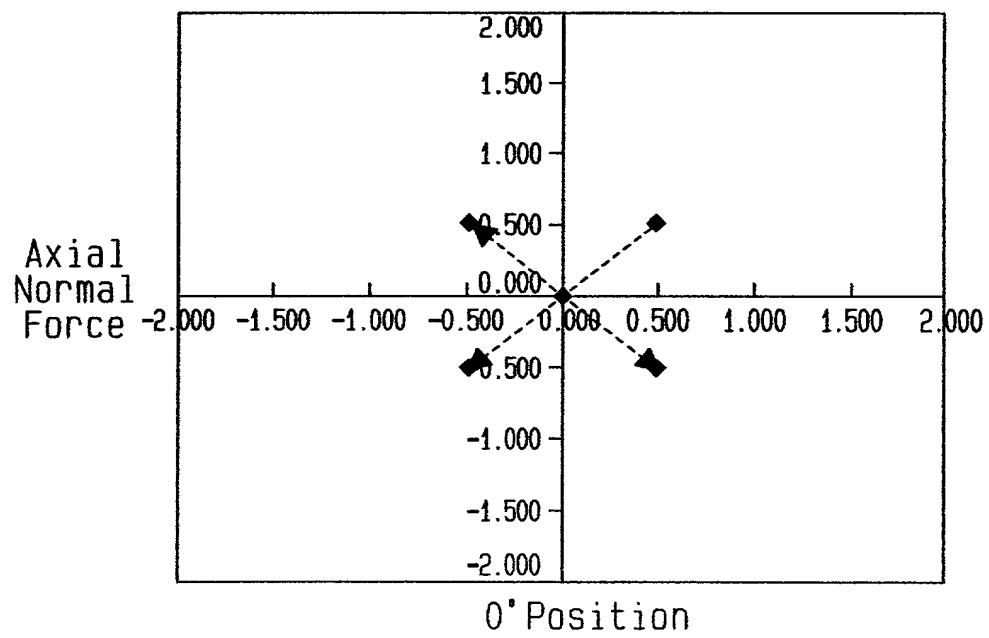


Fig.18 (a)

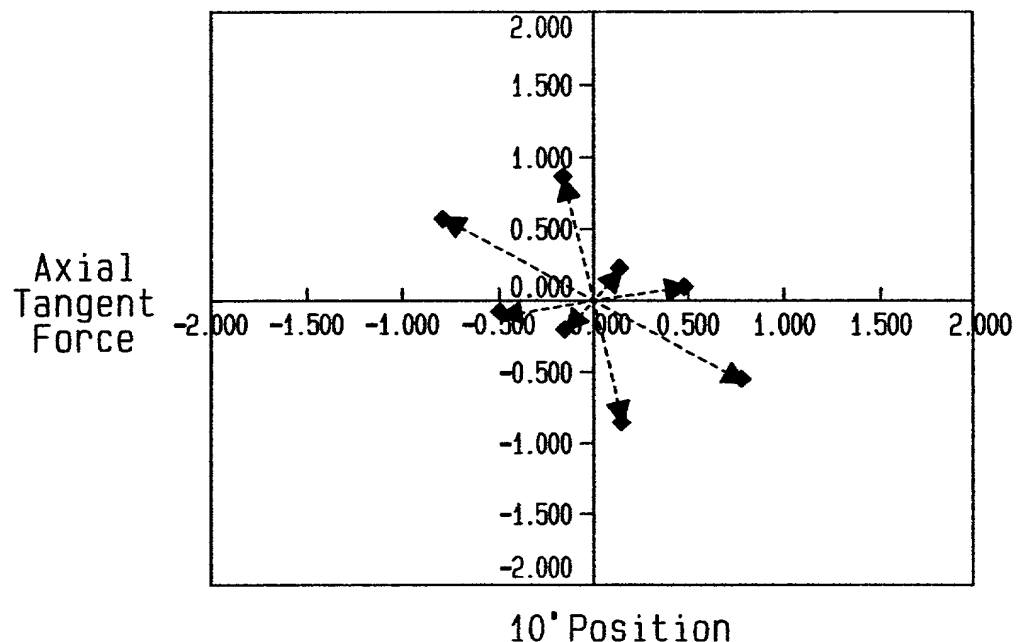


Fig.18 (b)

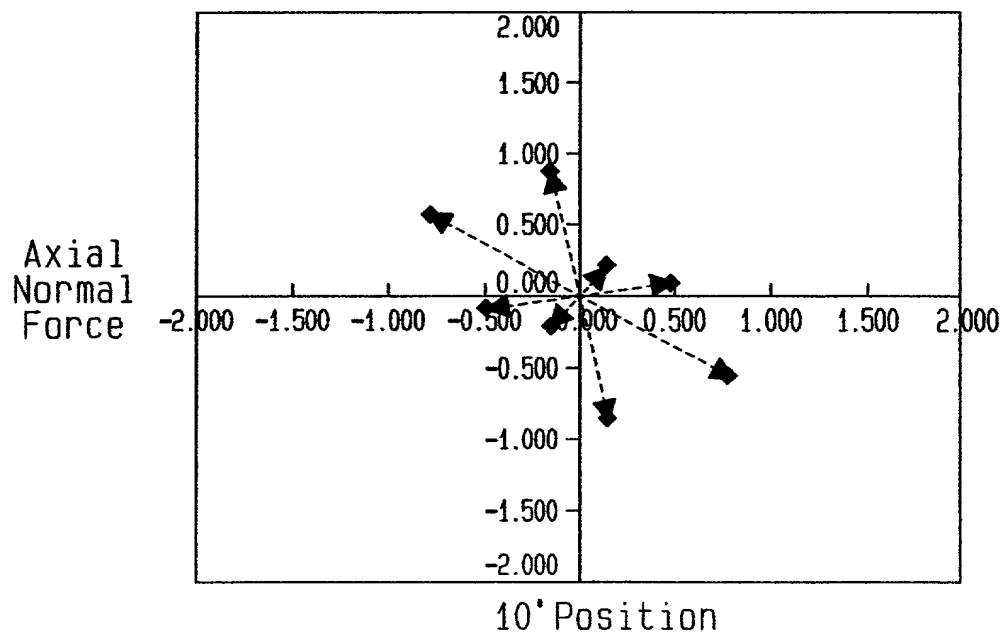


Fig.19(a)

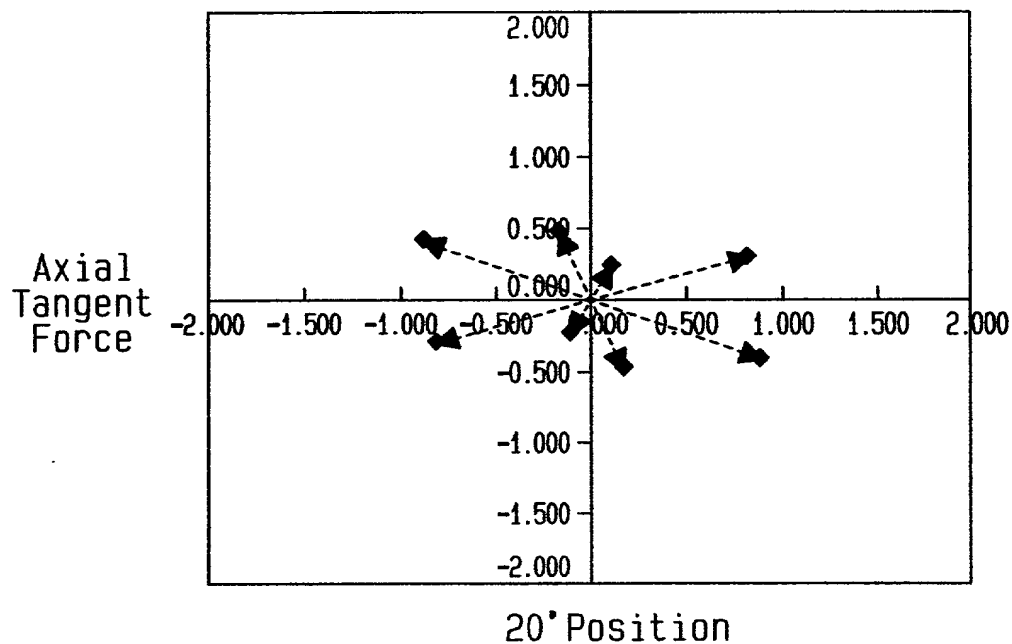


Fig.19(b)

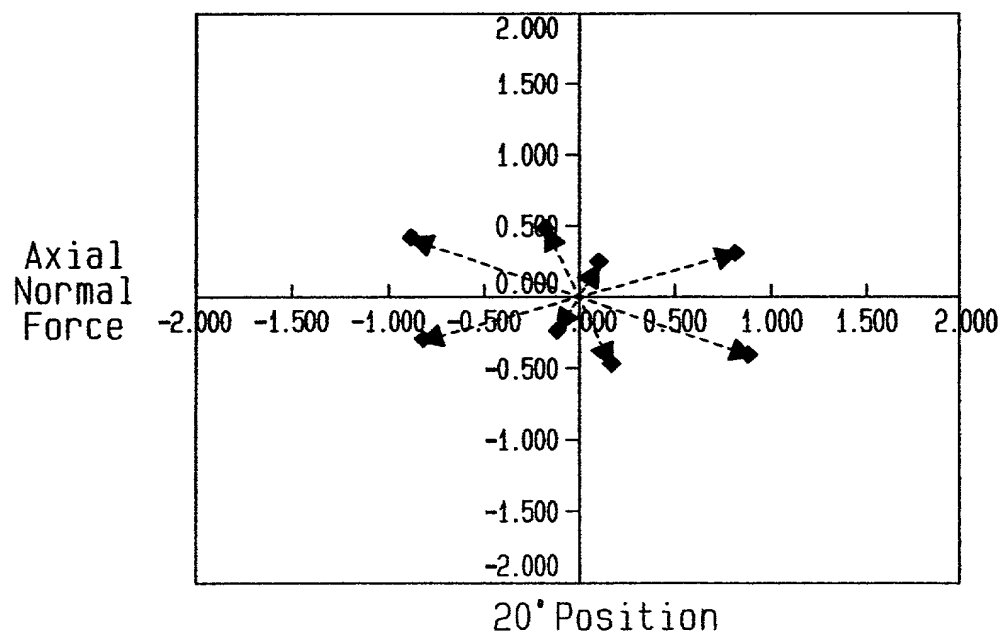
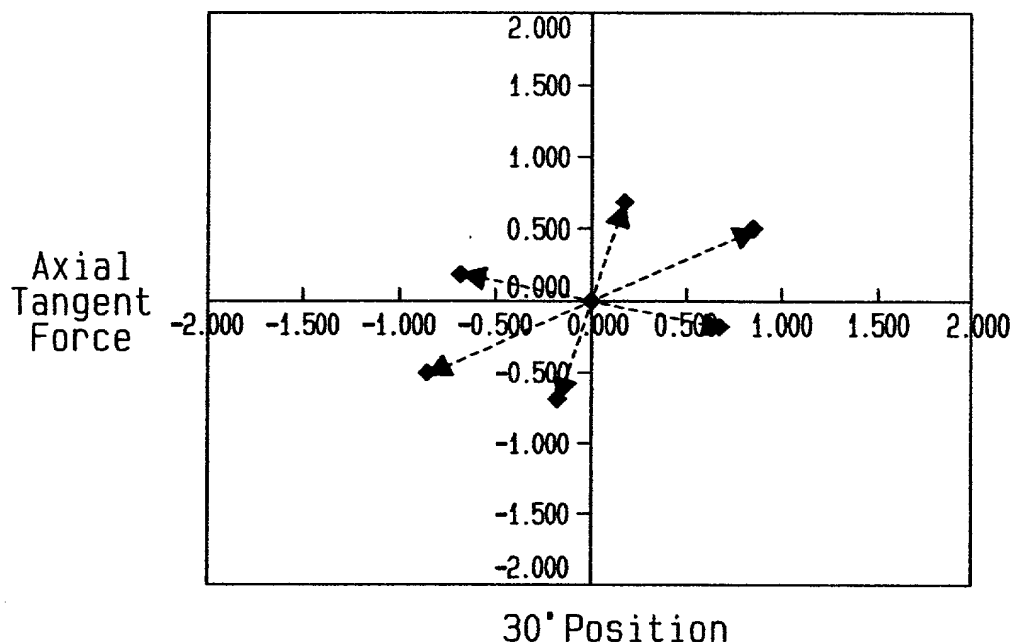
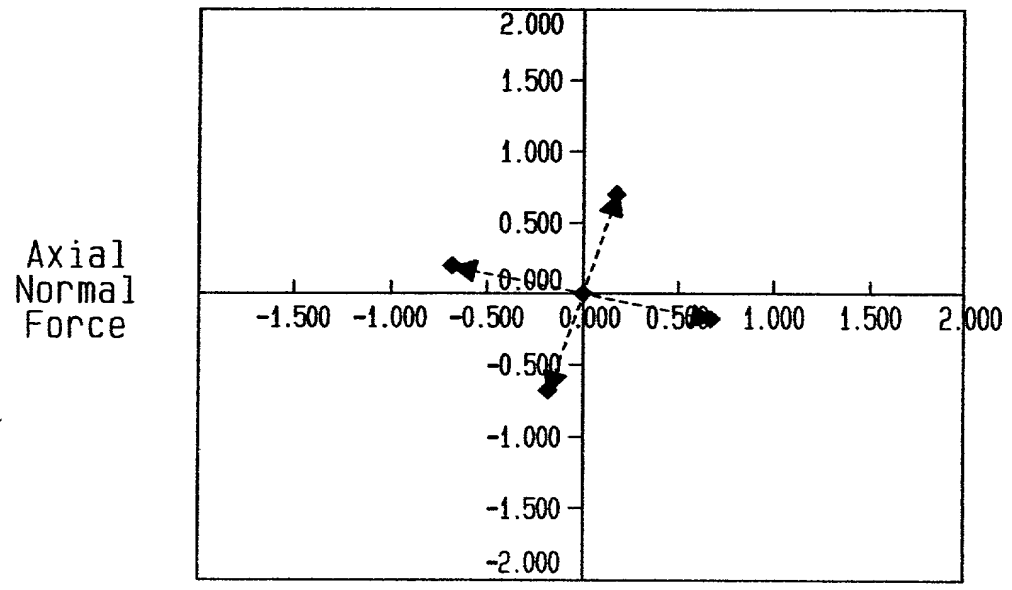


Fig.20 (a)



30° Position

Fig.20 (b)



30° Position

Fig.21 (a)

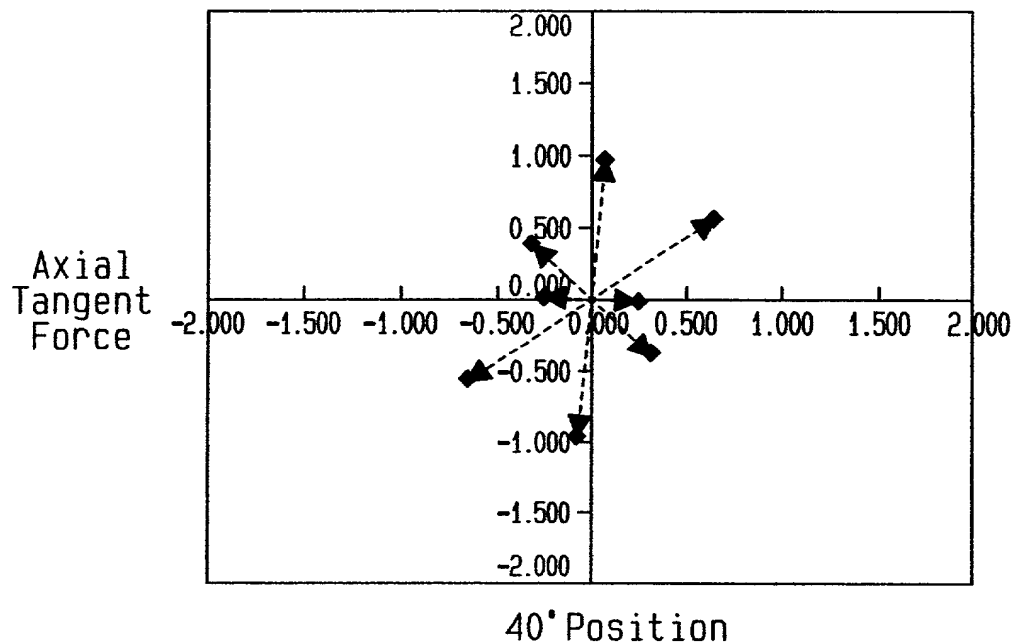


Fig.21 (b)

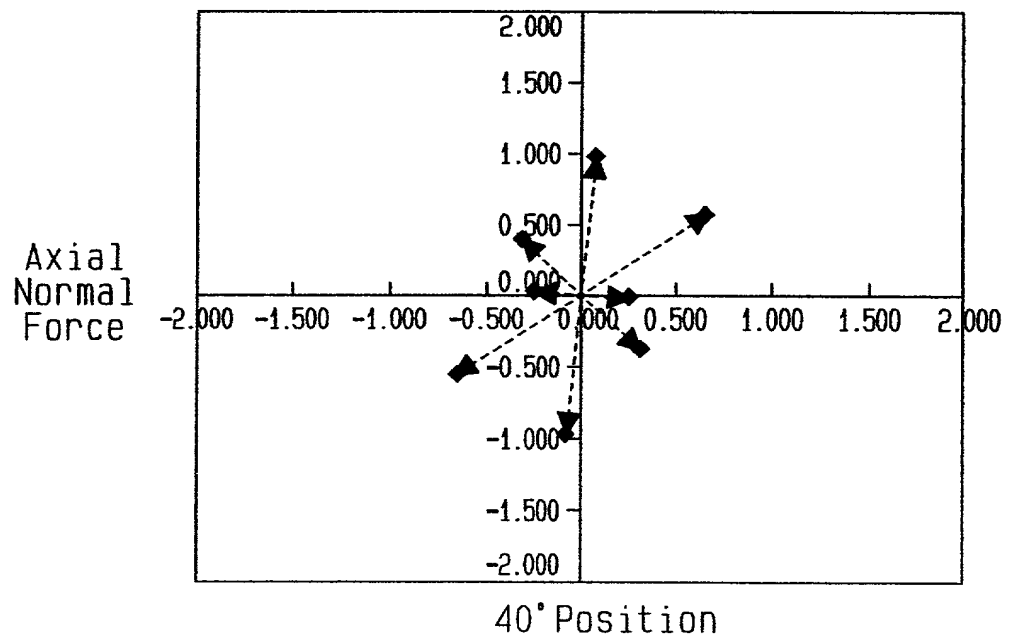


Fig.22 (a)

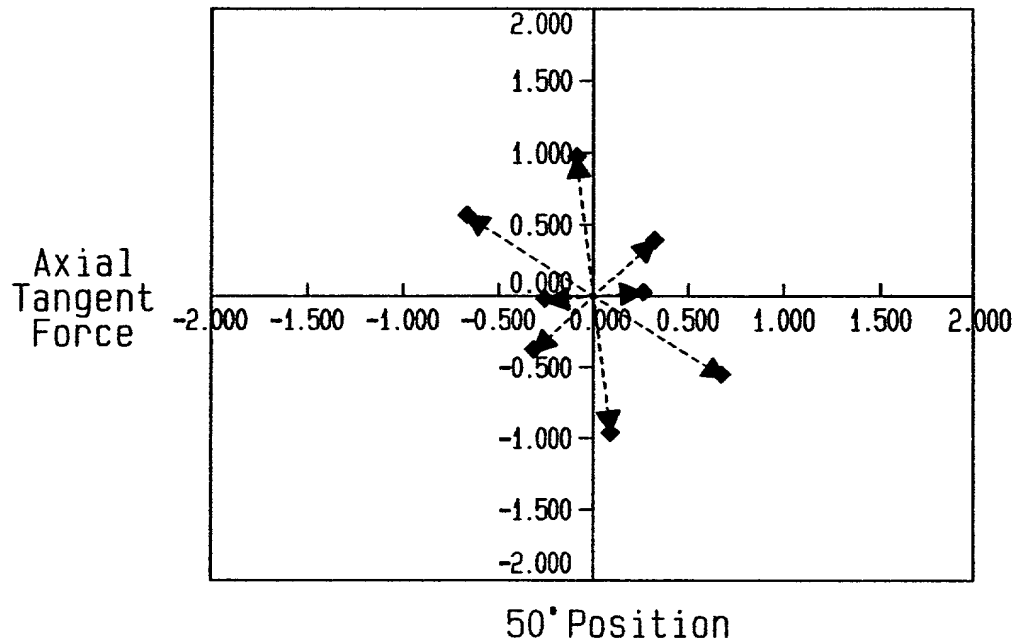


Fig.22 (b)

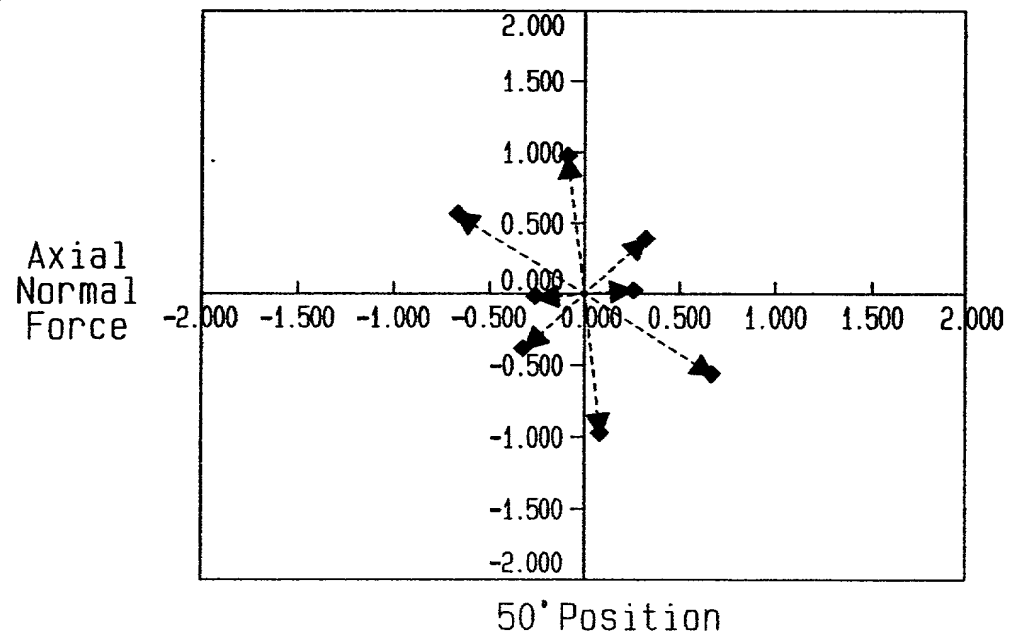


Fig.23 (a)

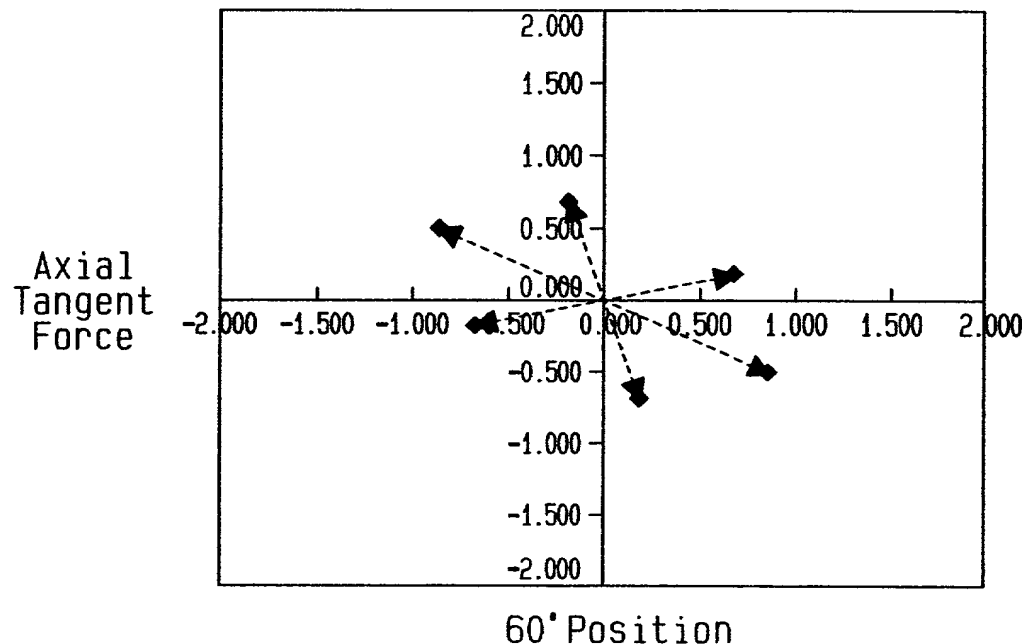


Fig.23 (b)

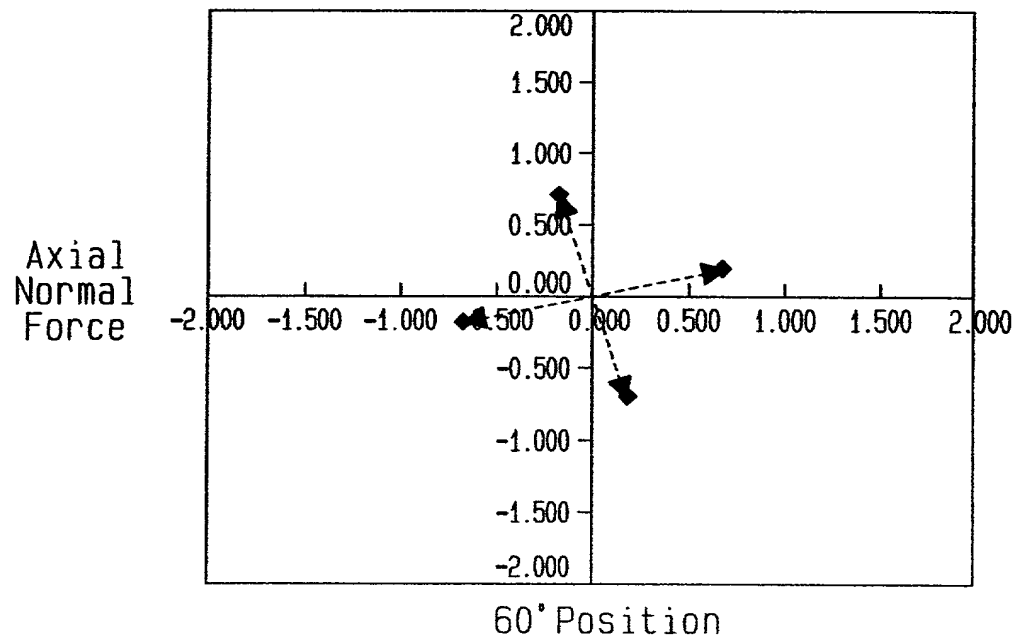
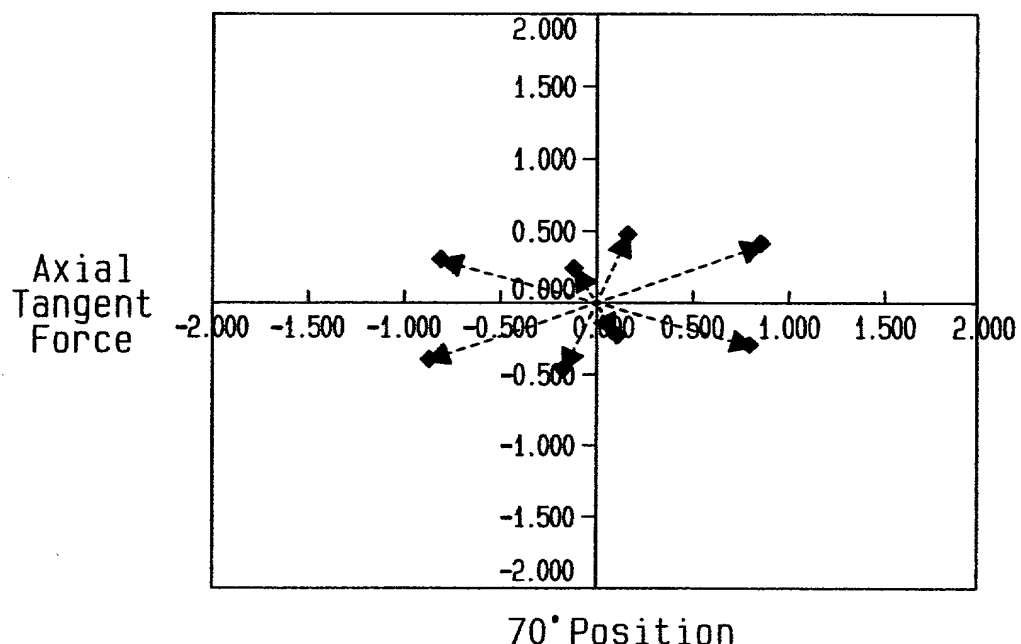
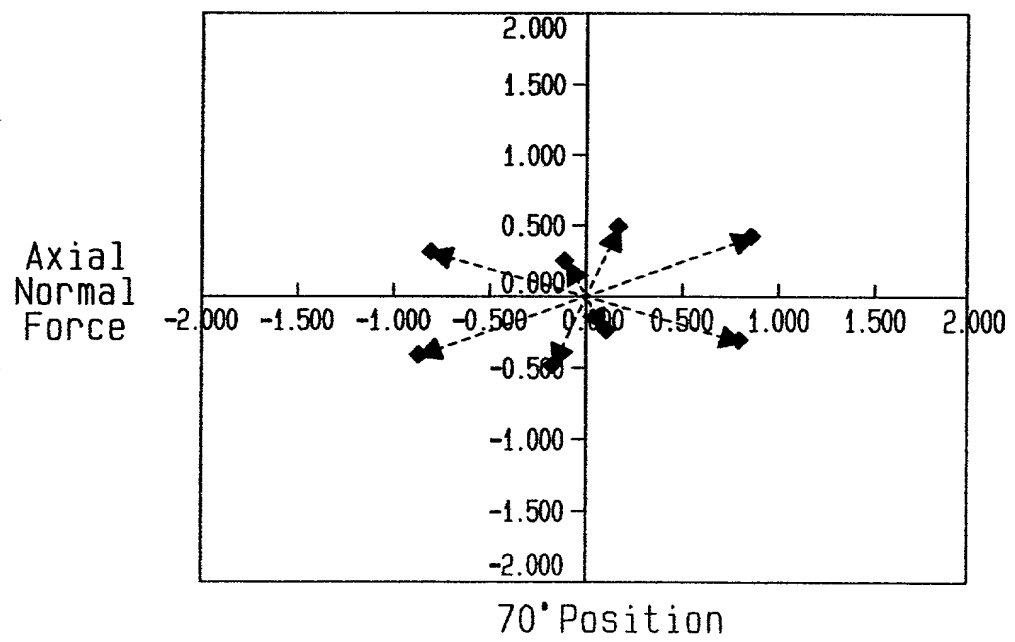


Fig.24 (a)



70° Position

Fig.24 (b)



70° Position

Fig.25 (a)

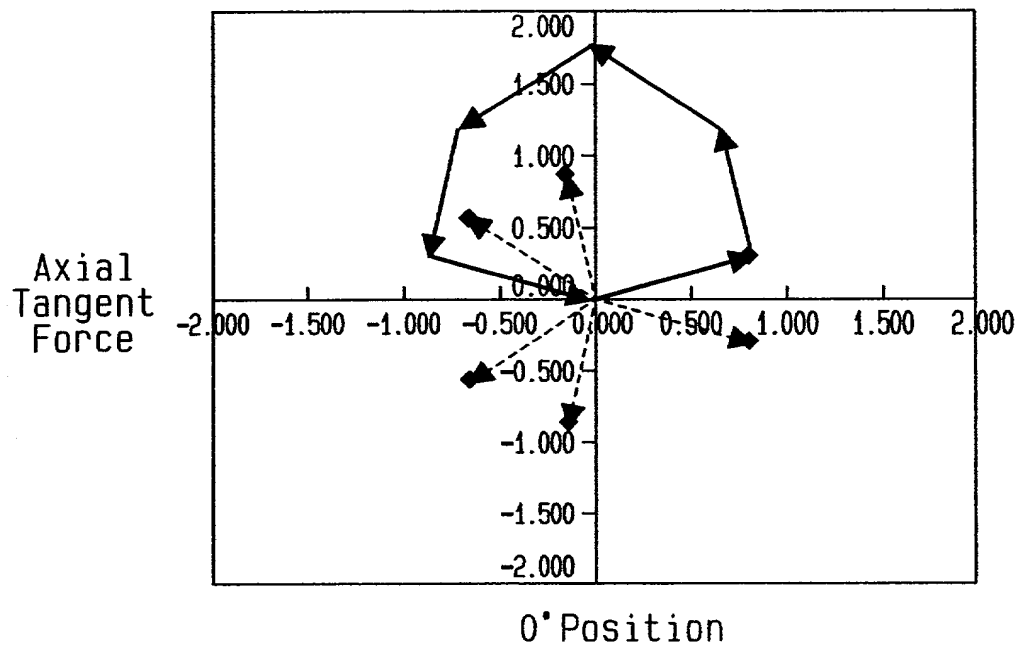


Fig.25 (b)

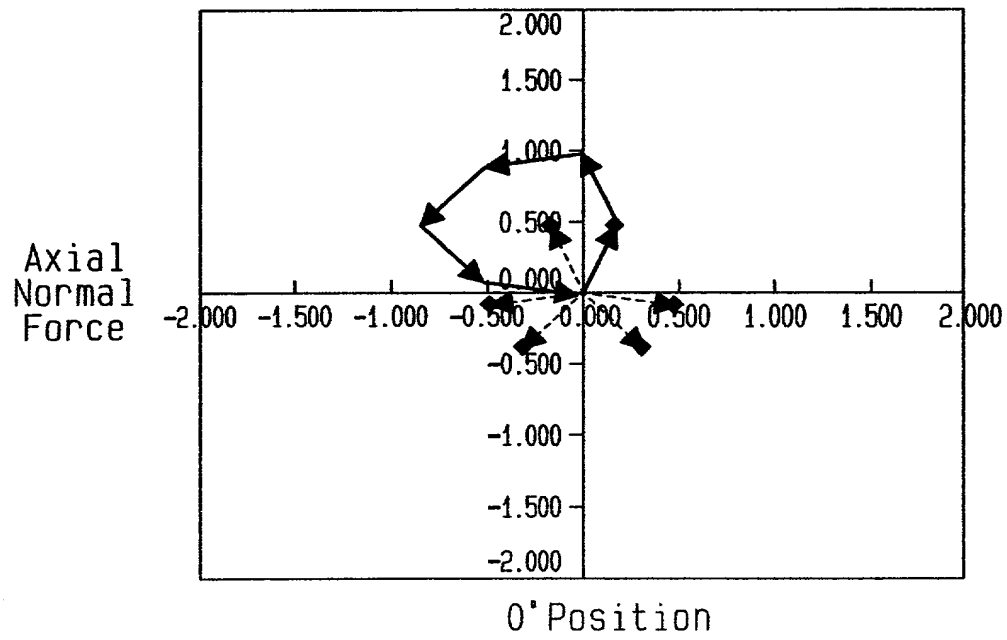


Fig. 26 (a)

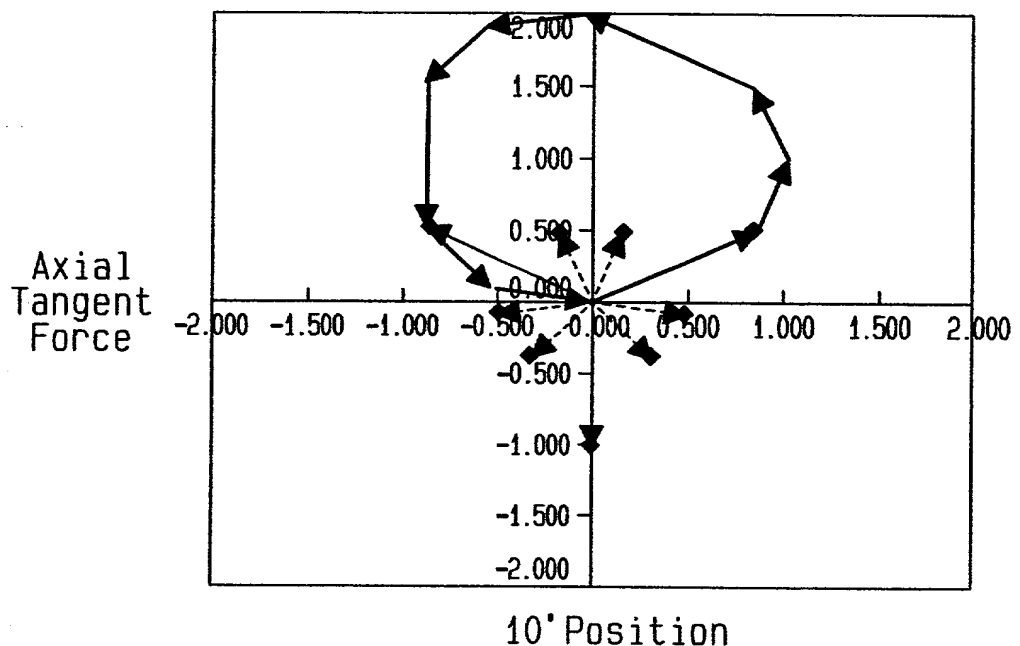


Fig. 26 (b)

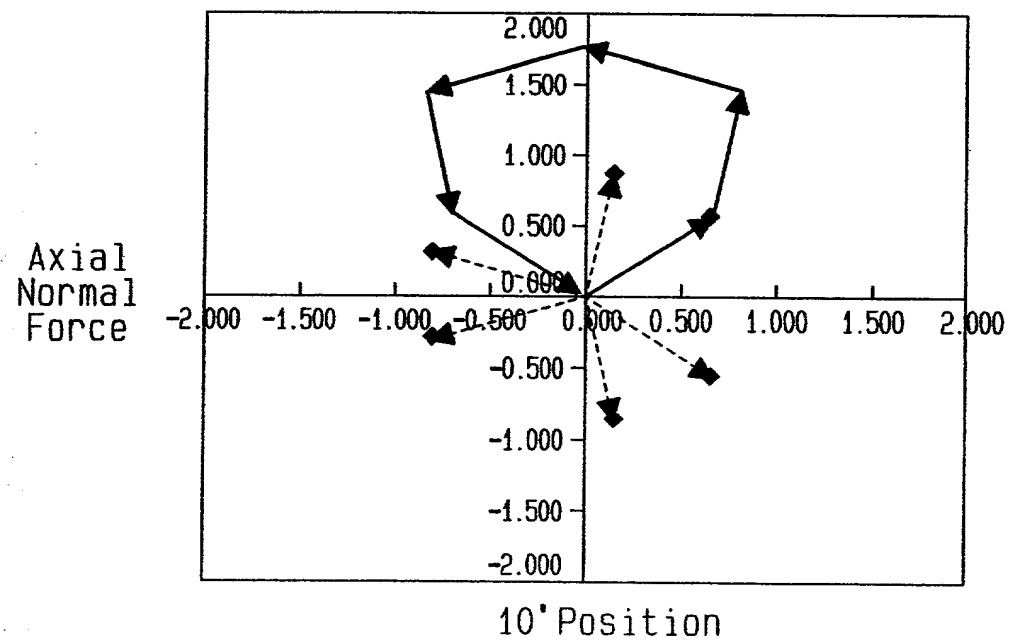


Fig.27 (a)

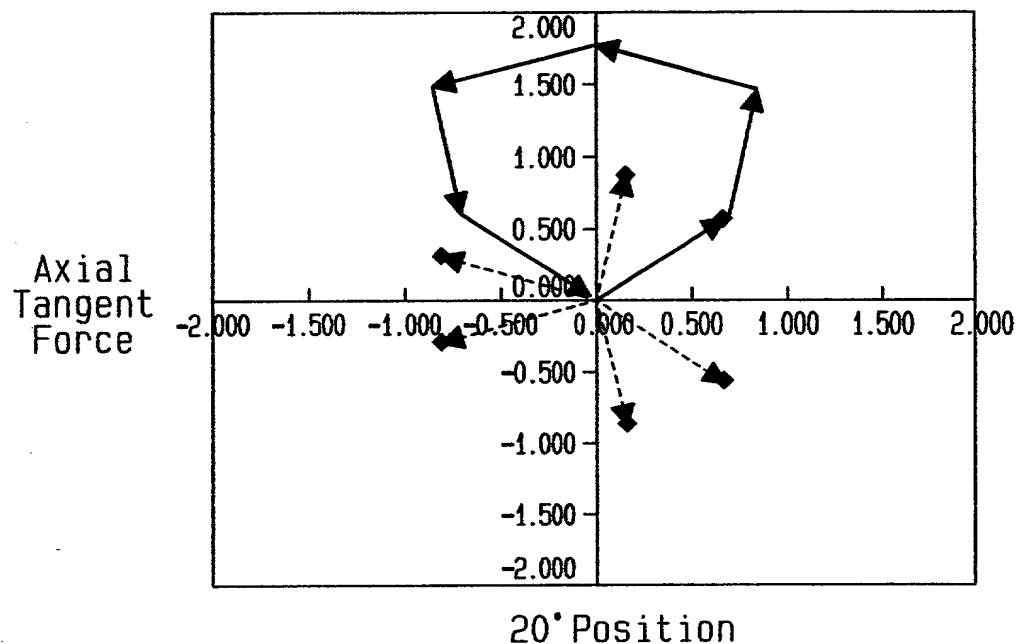


Fig.27 (b)

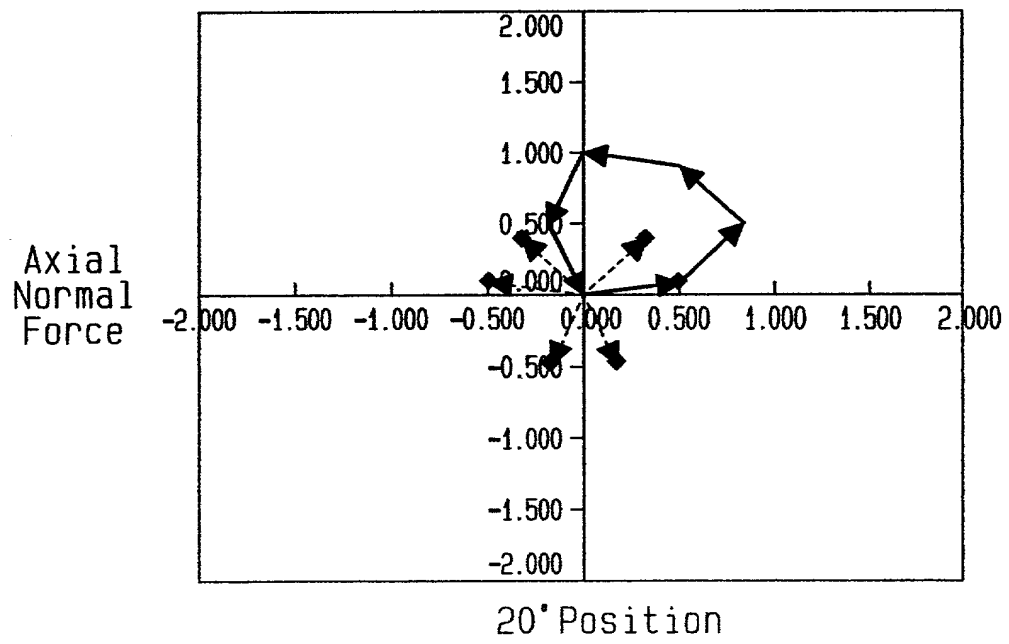


Fig.28(a)

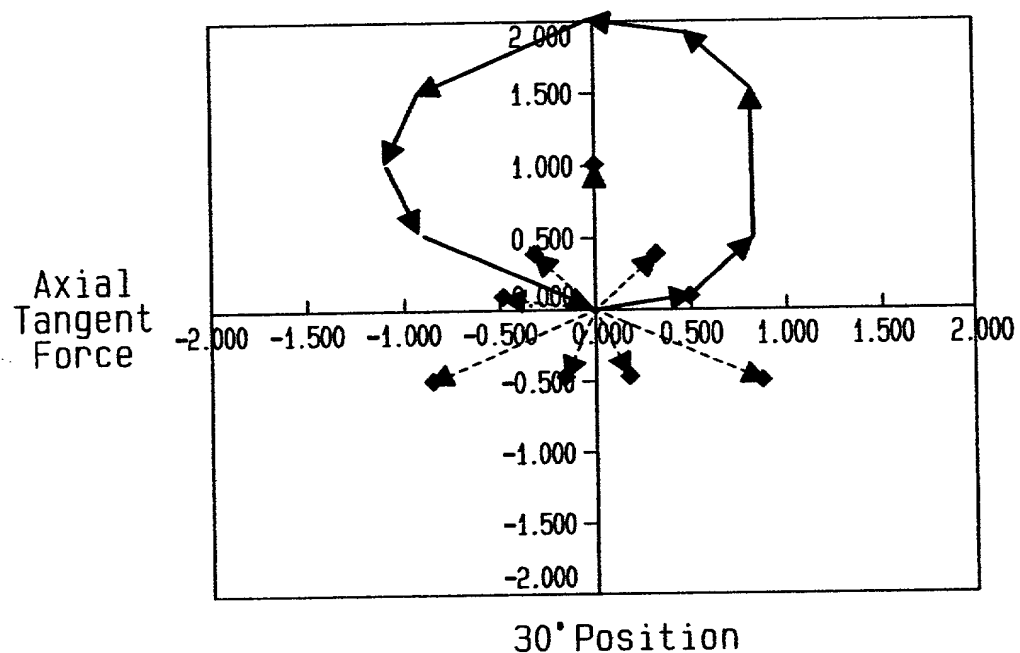


Fig.28 (b)

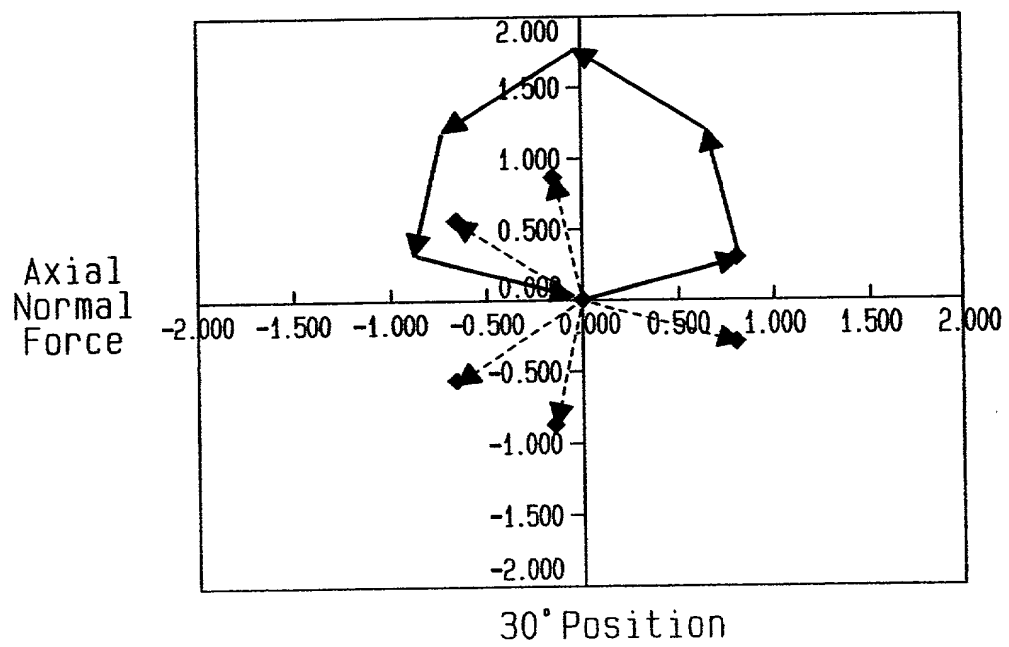


Fig. 29 (a)

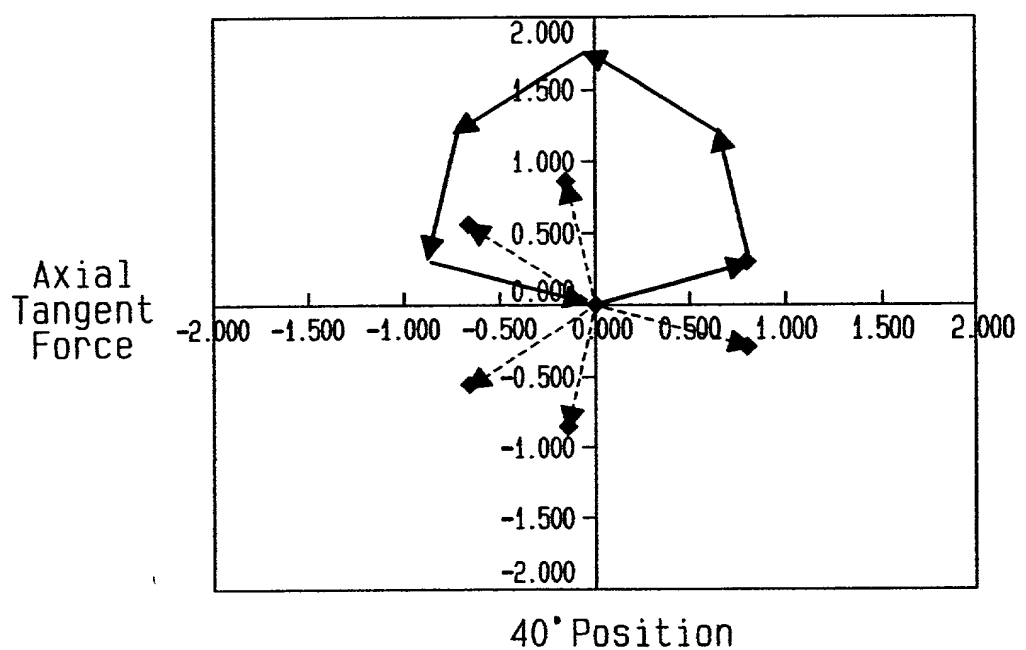


Fig. 29 (b)

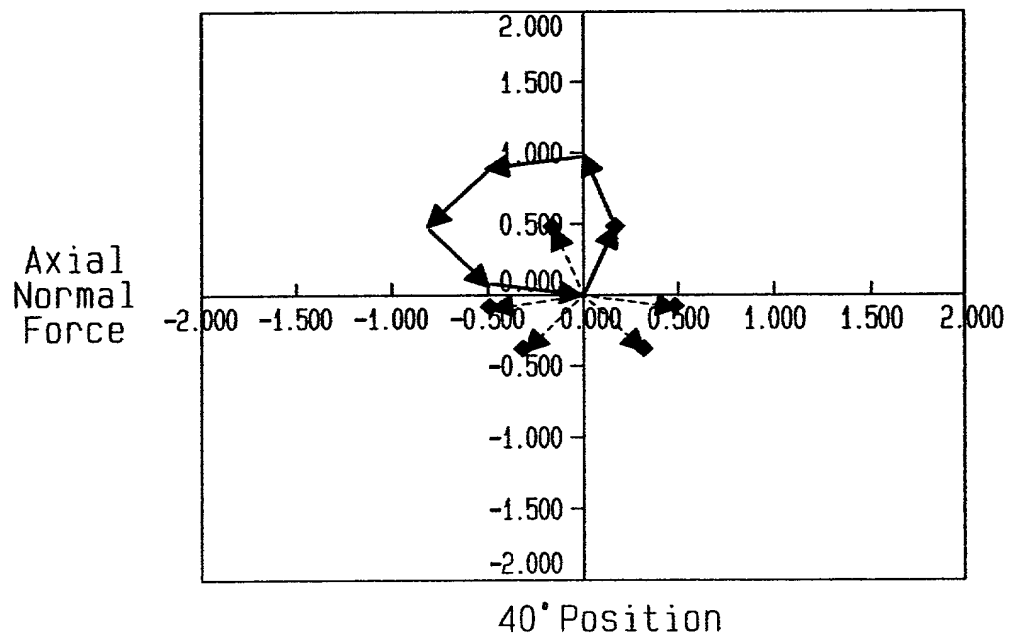


Fig. 30 (a)

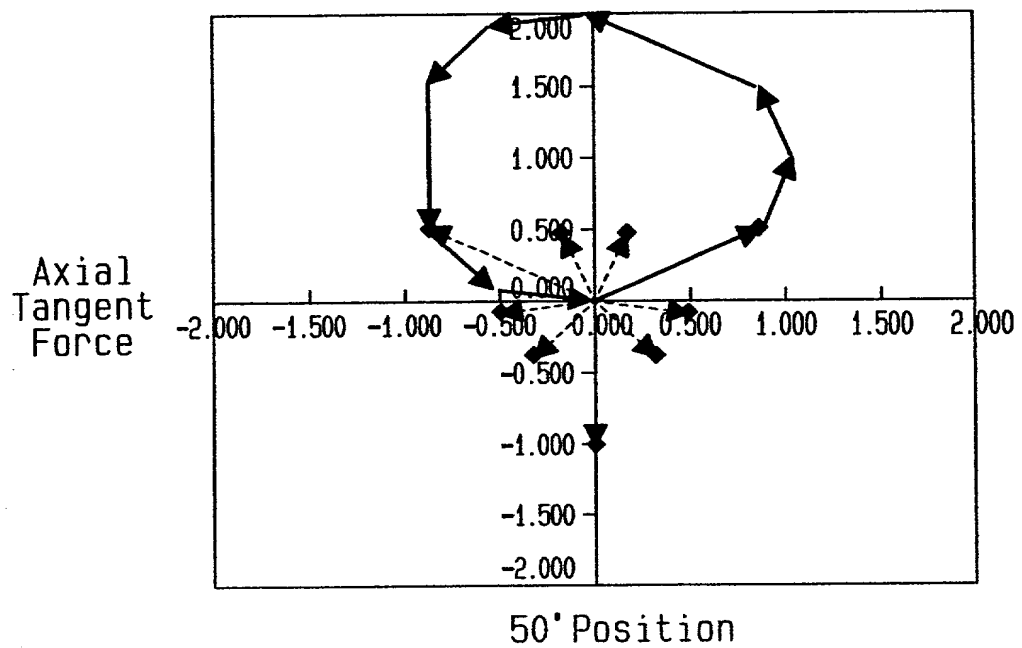


Fig. 30 (b)

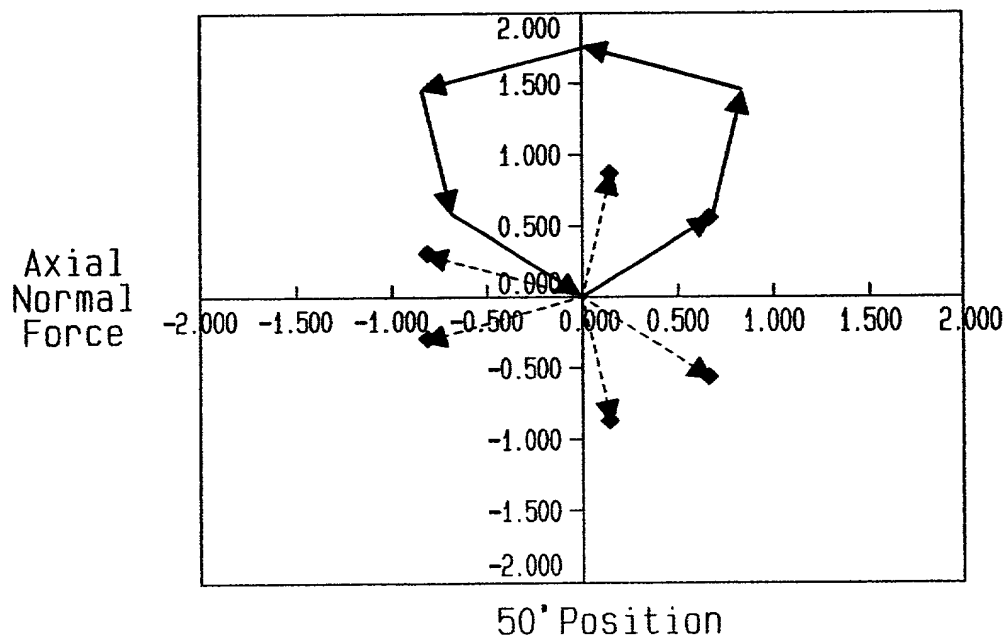


Fig.31 (a)

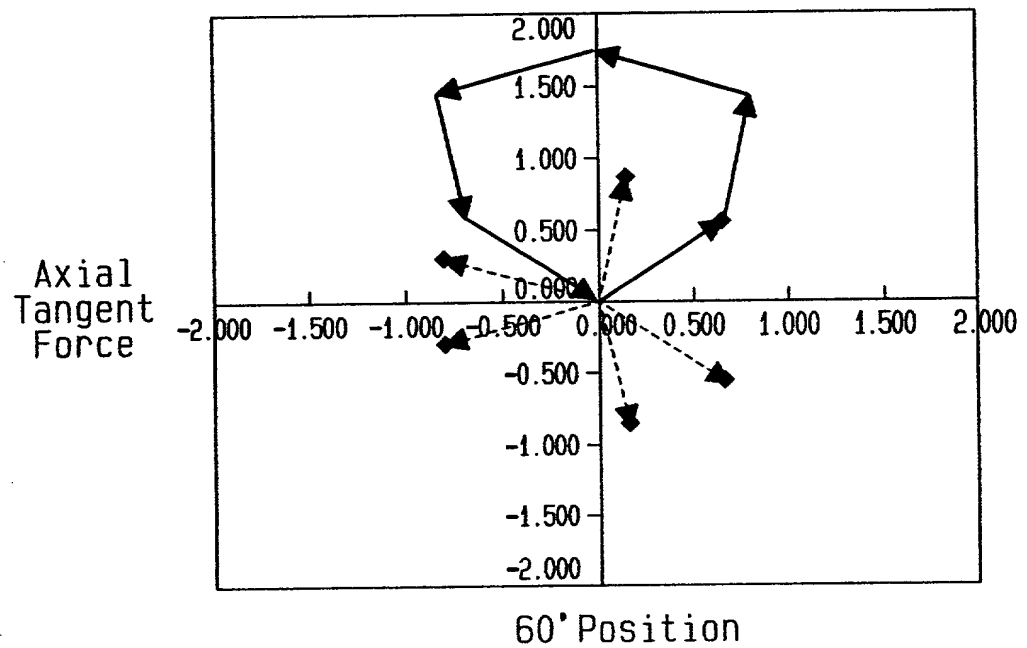


Fig.31 (b)

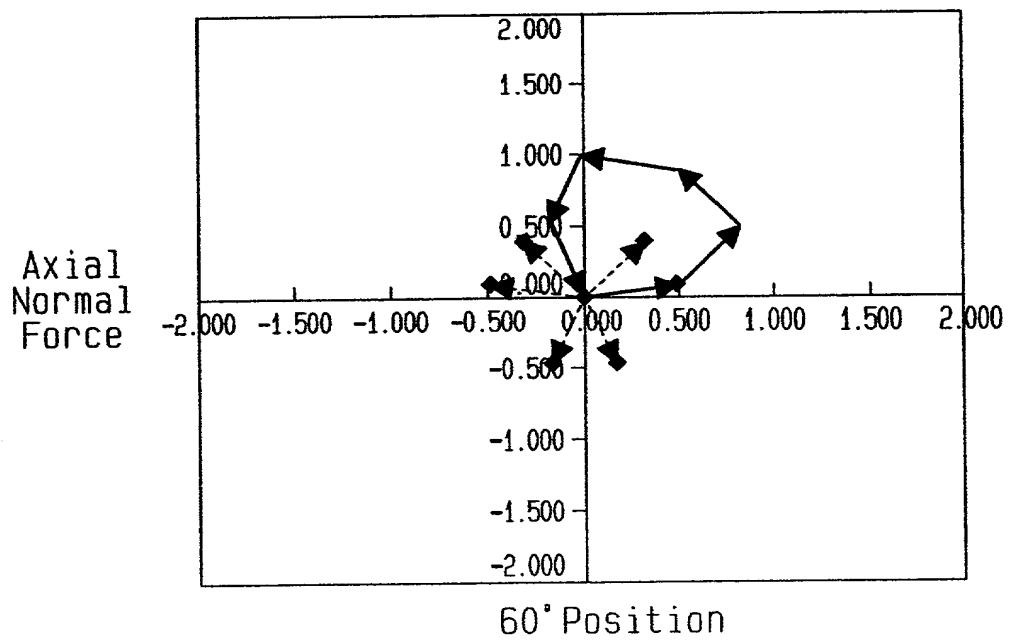


Fig.32 (a)

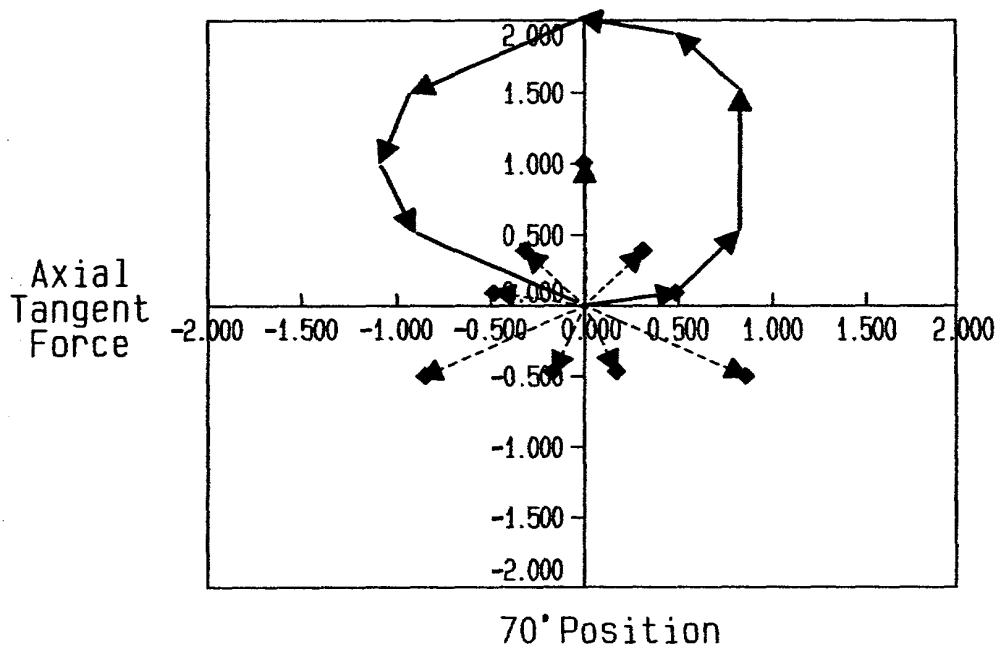


Fig.32 (b)

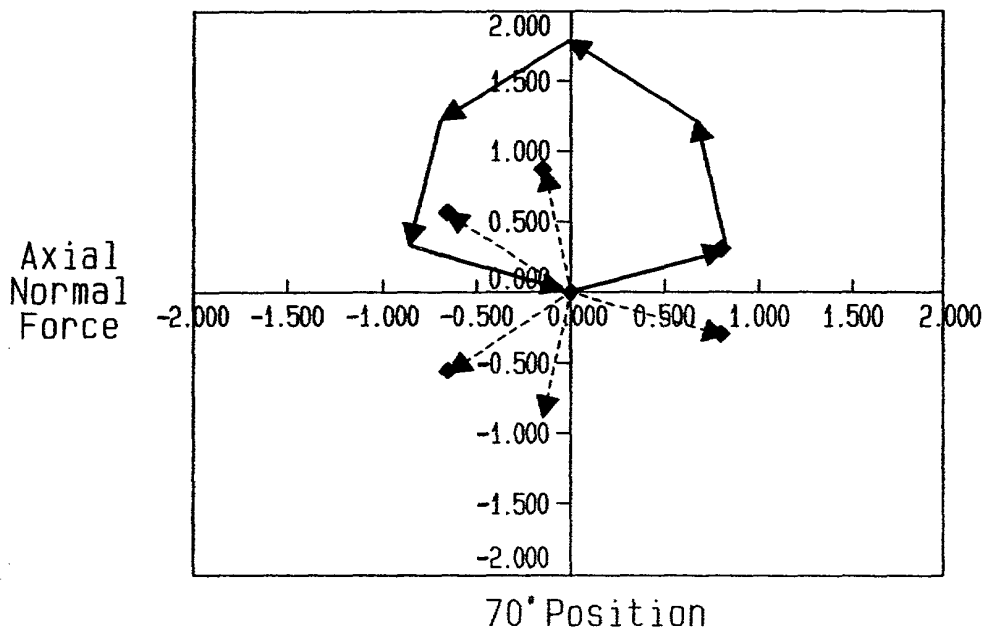


Fig. 33

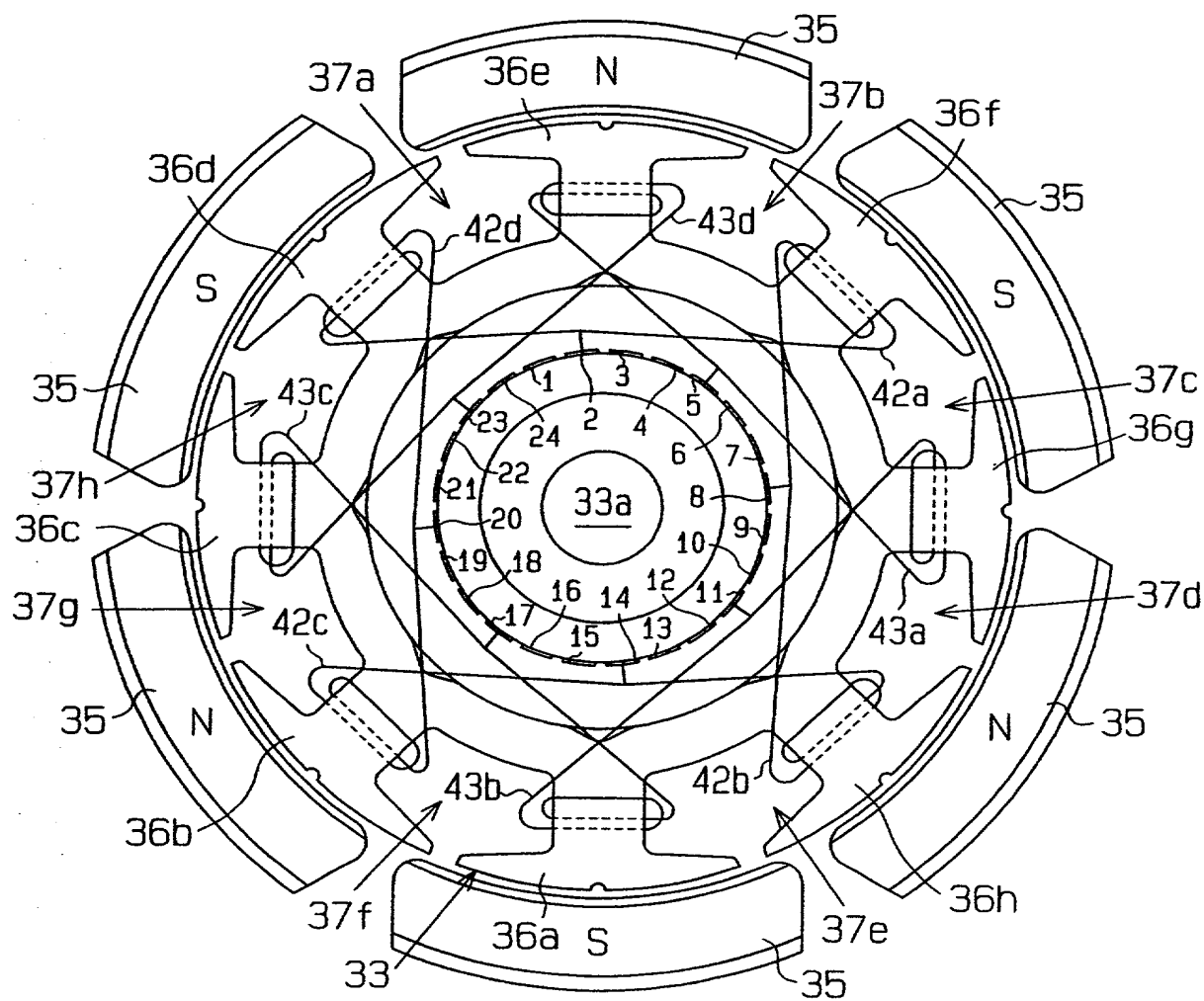


Fig. 34

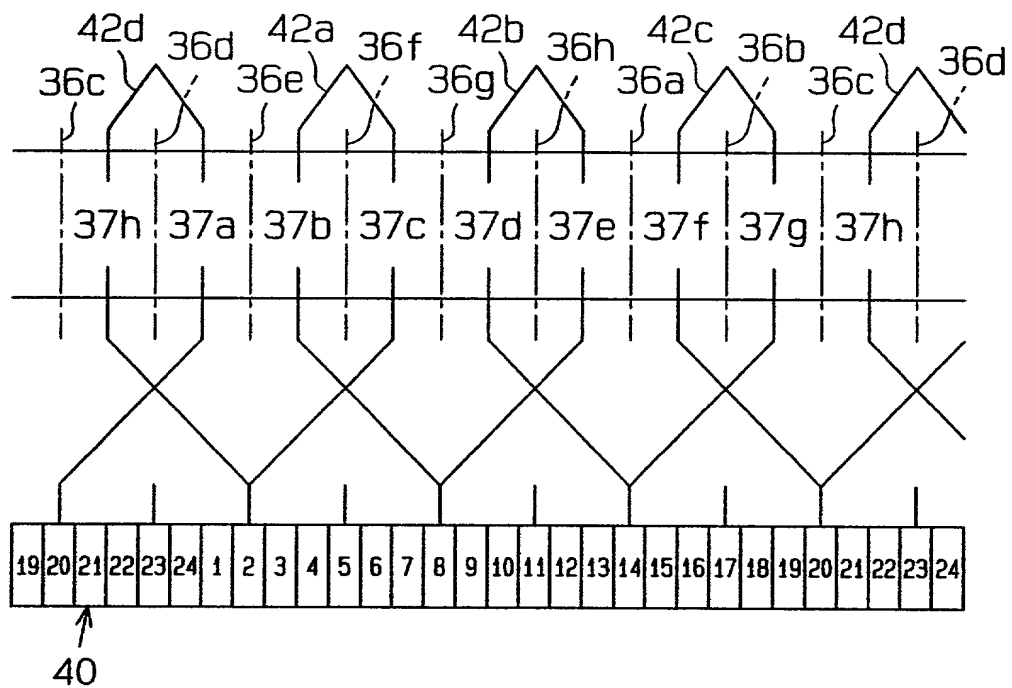


Fig. 35

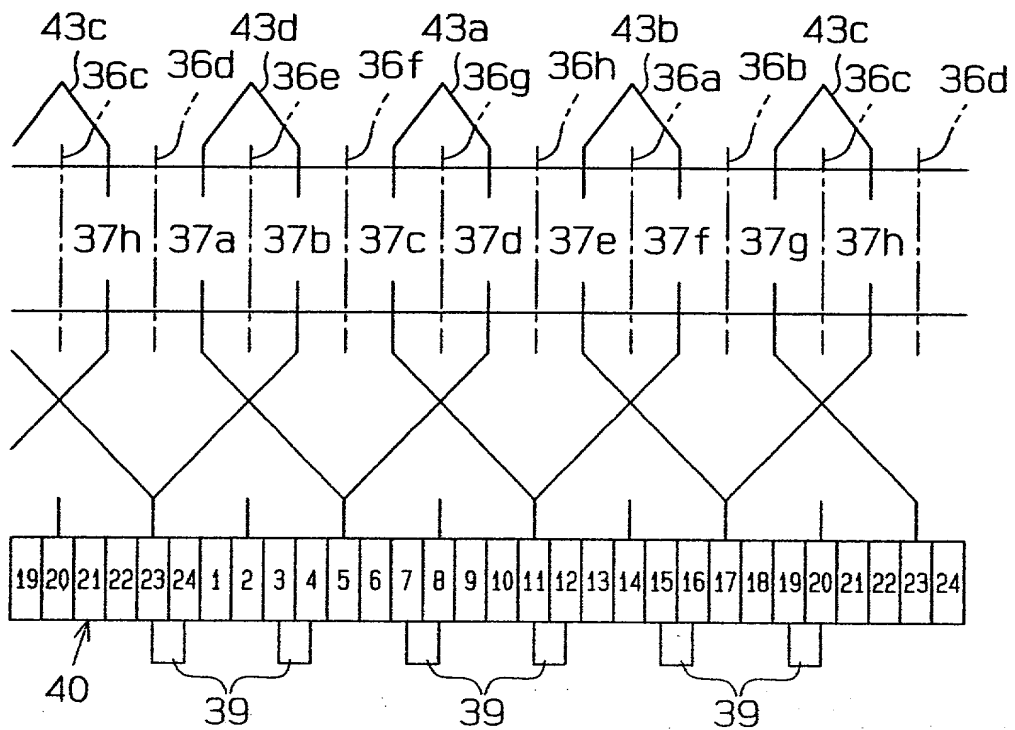


Fig. 36

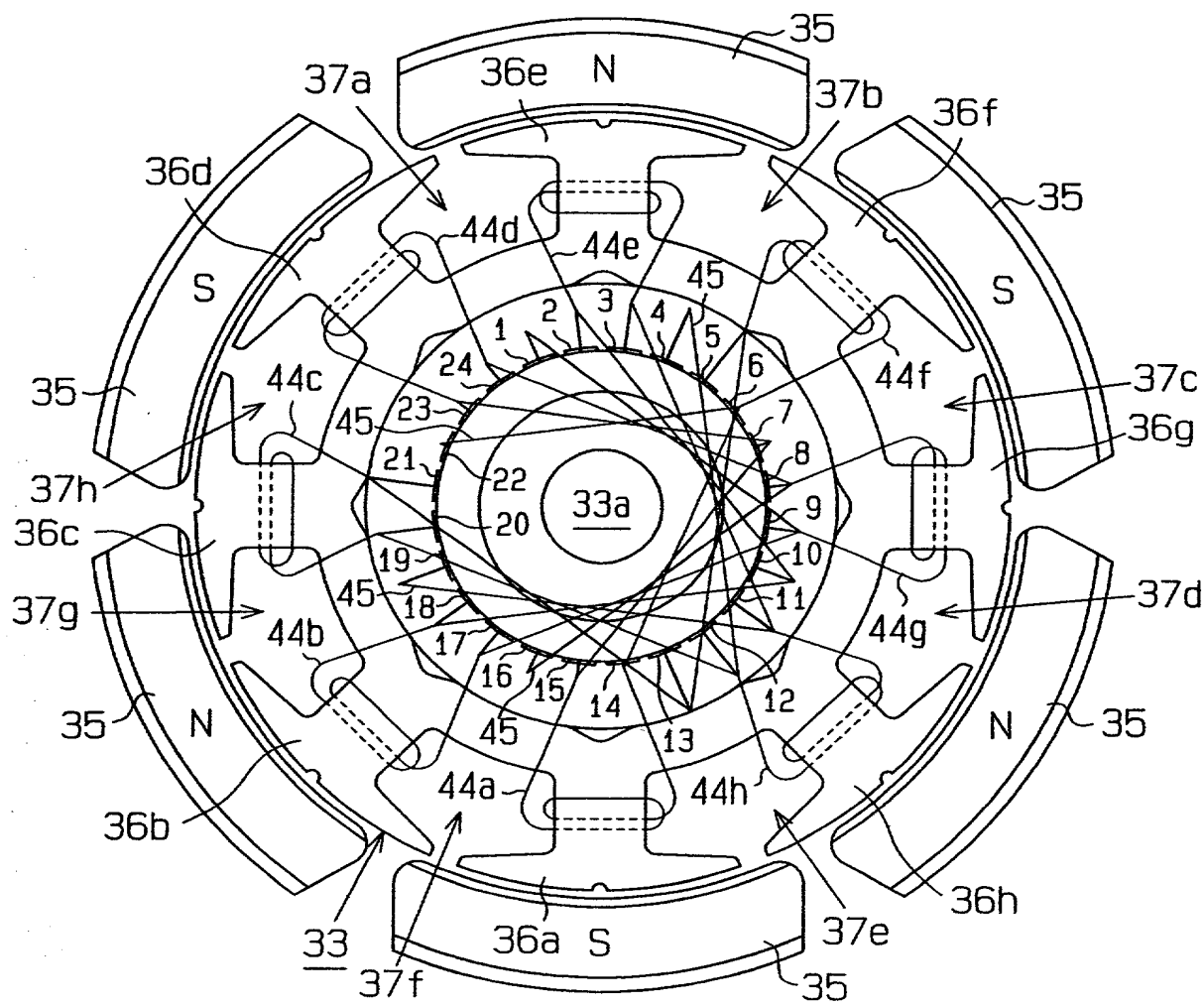


Fig. 37

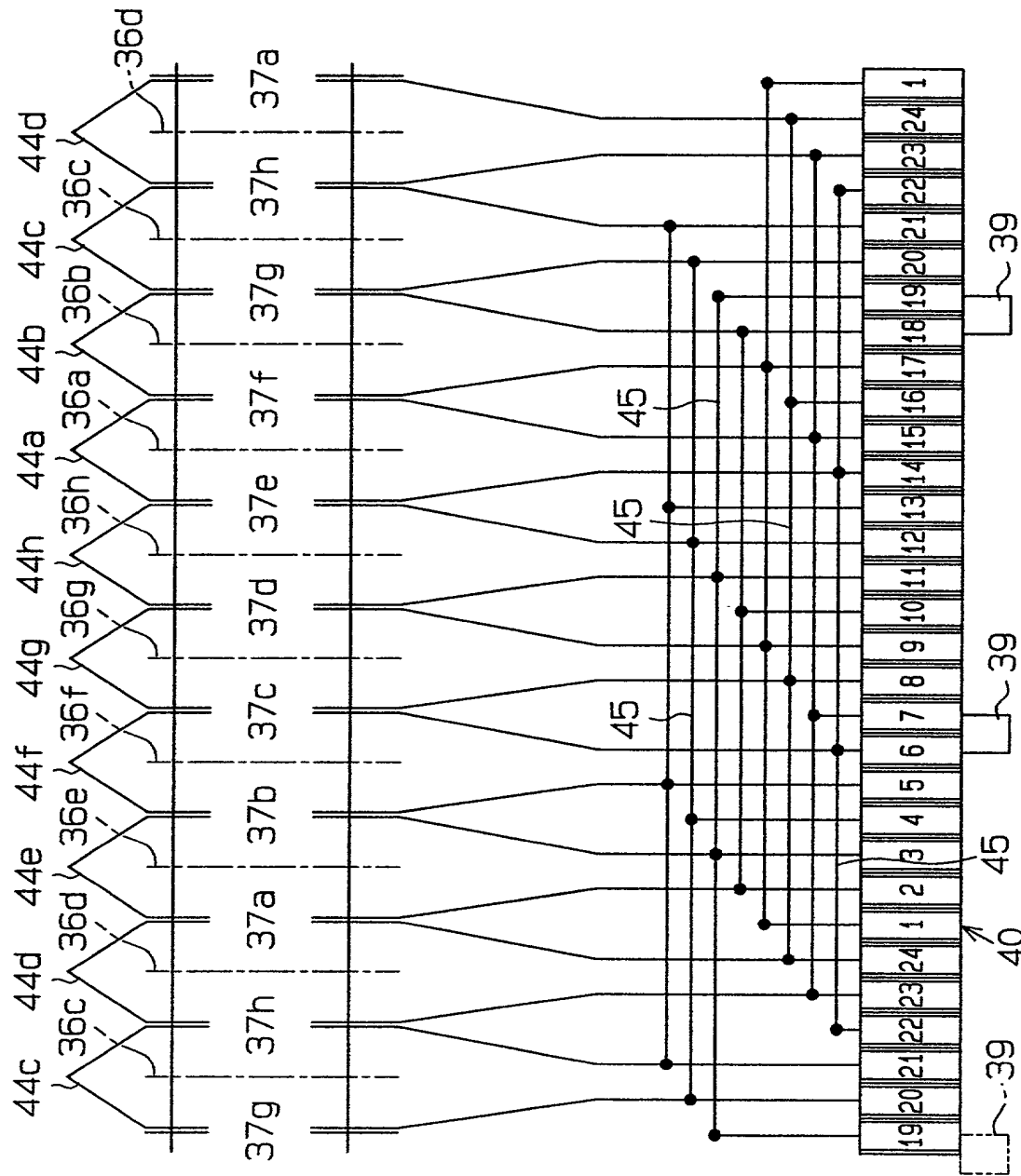


Fig. 38

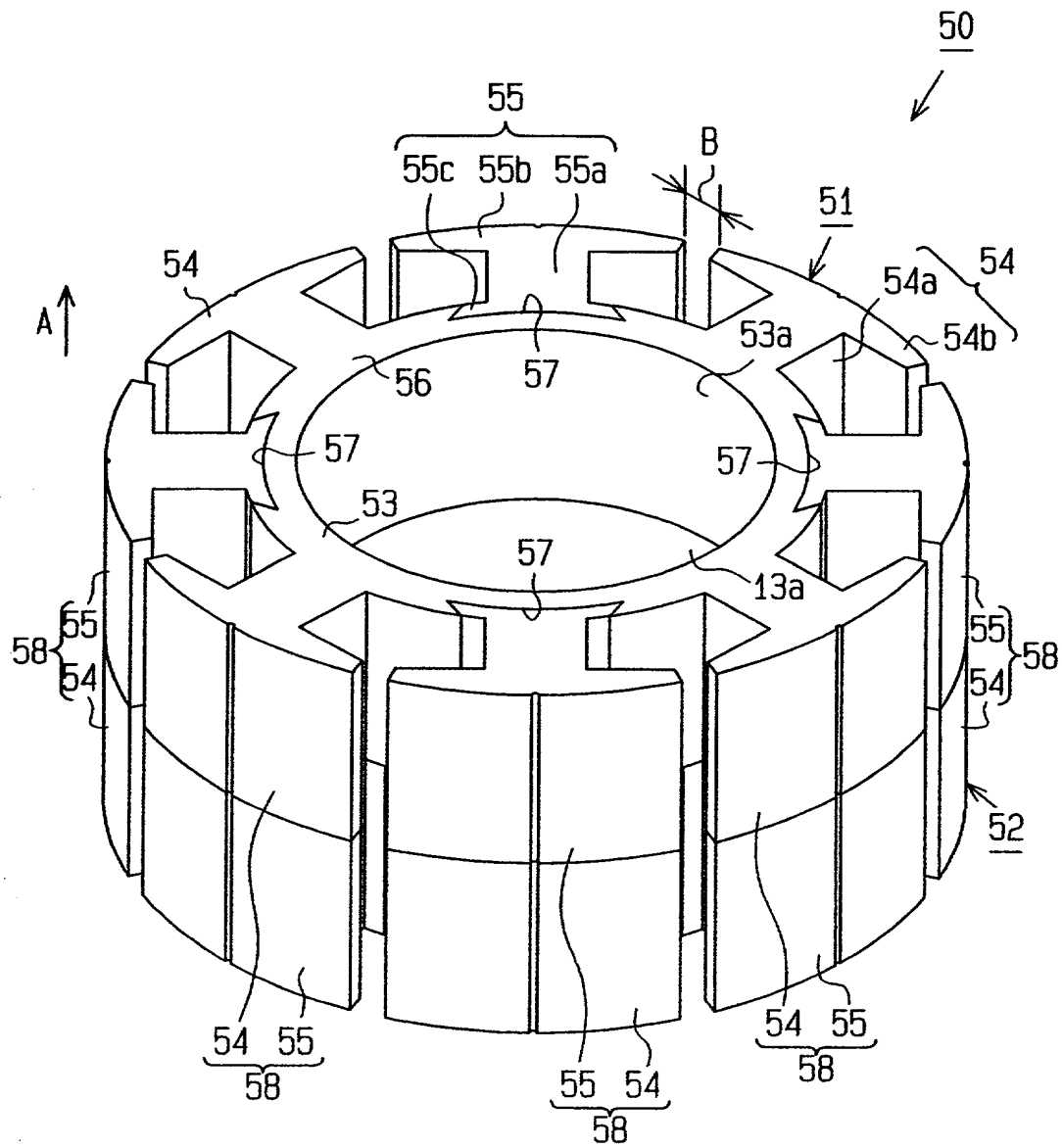


Fig. 39

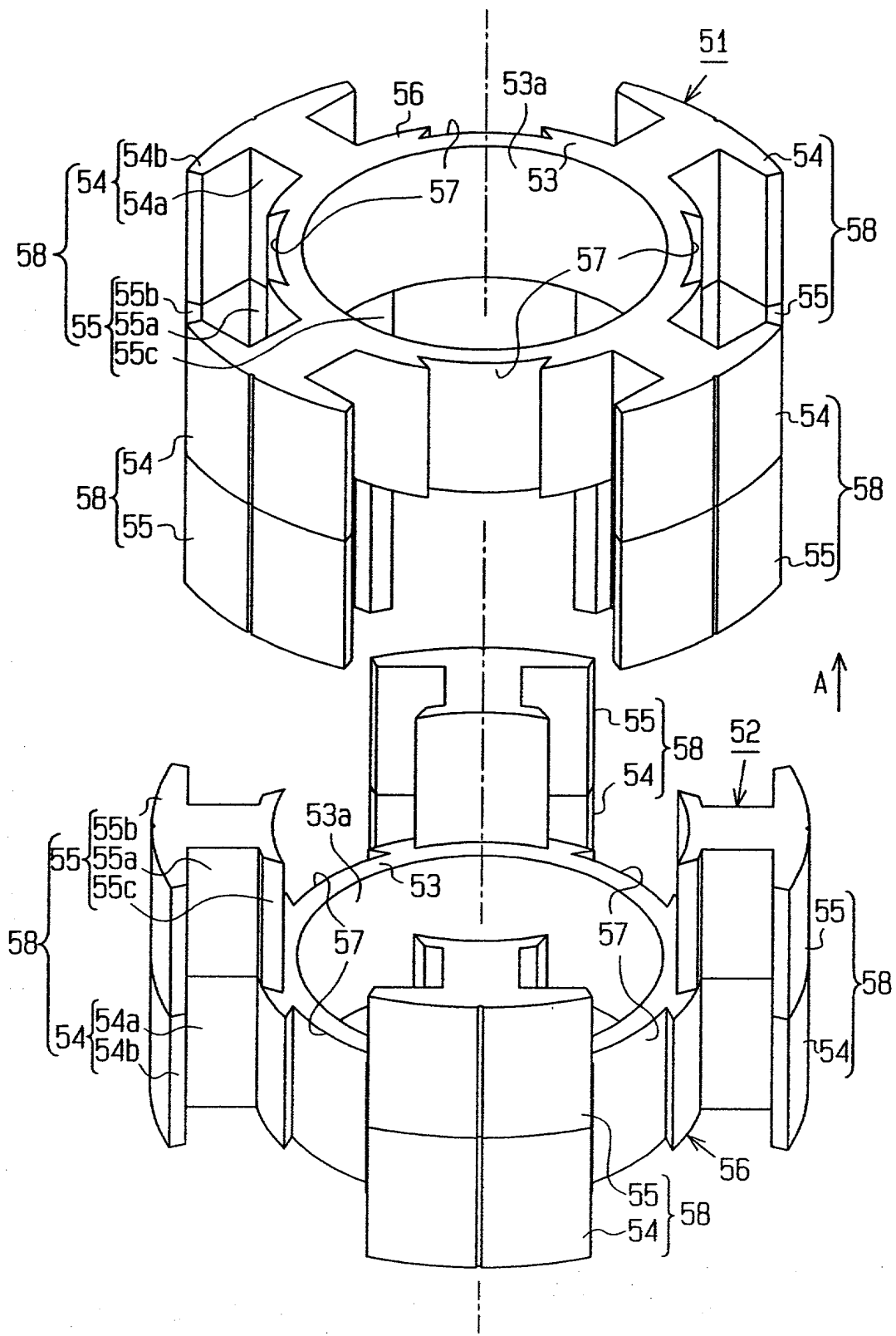


Fig. 40

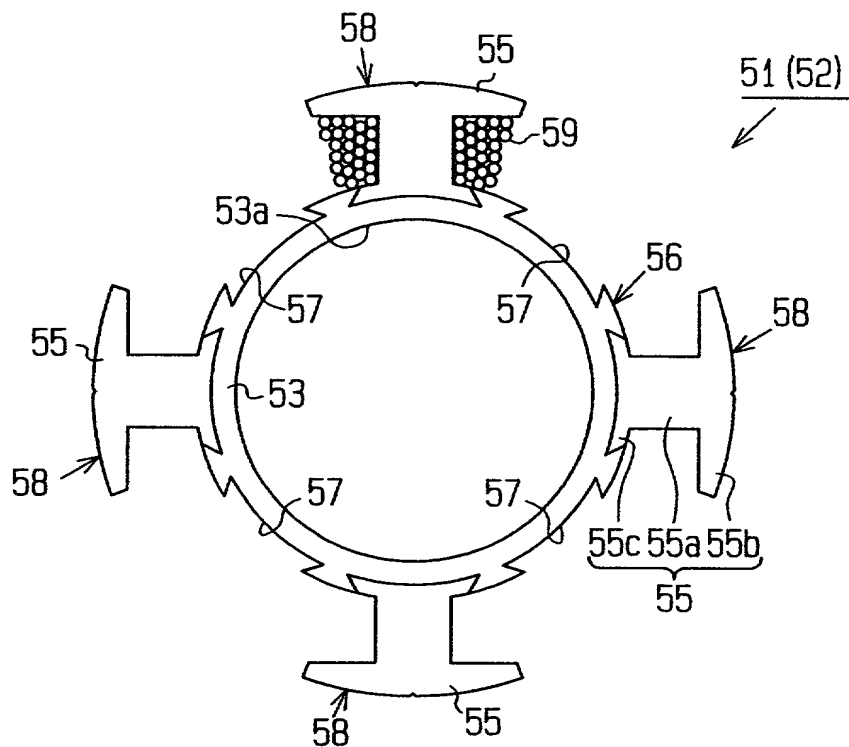


Fig. 41

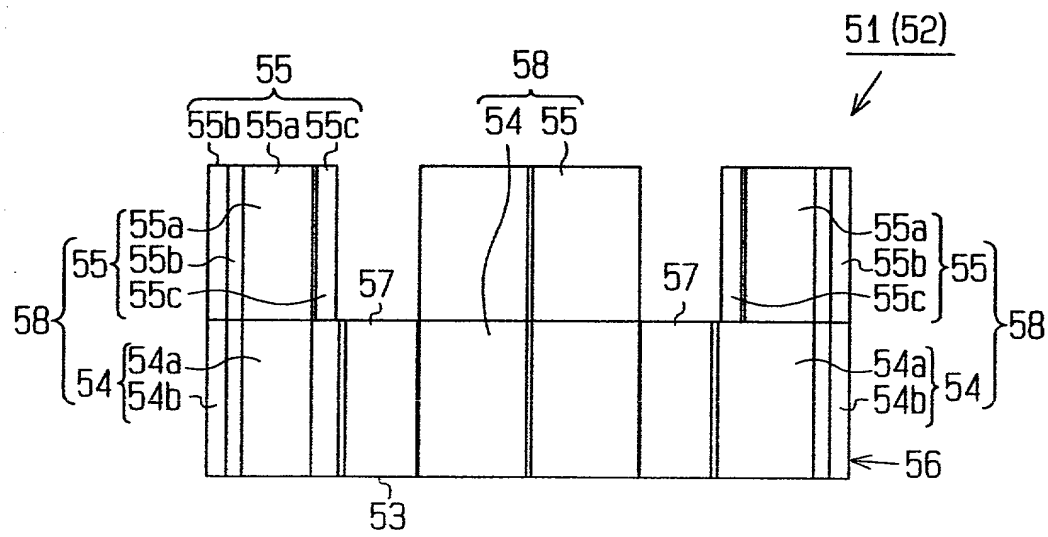


Fig. 42

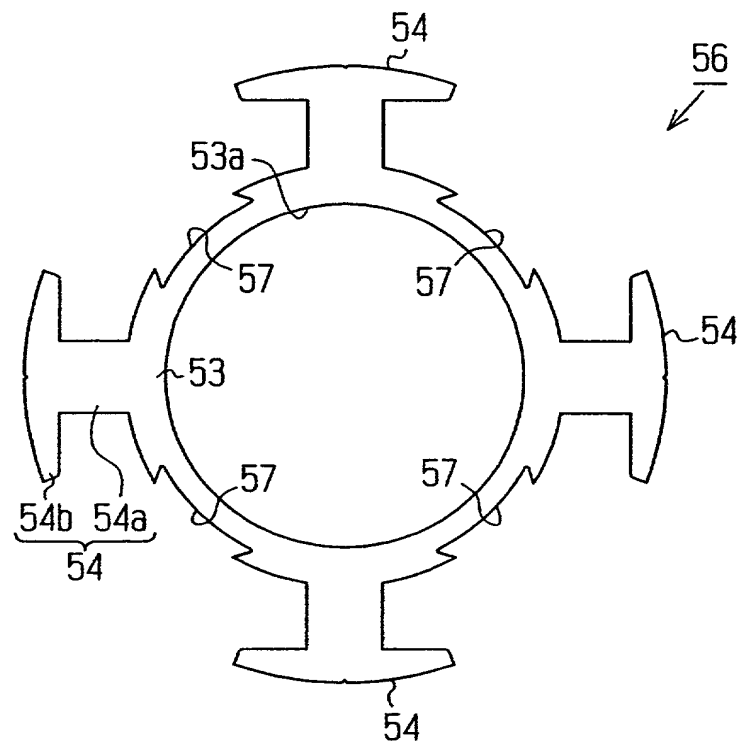


Fig. 43

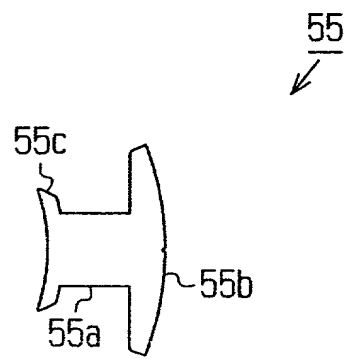


Fig. 44

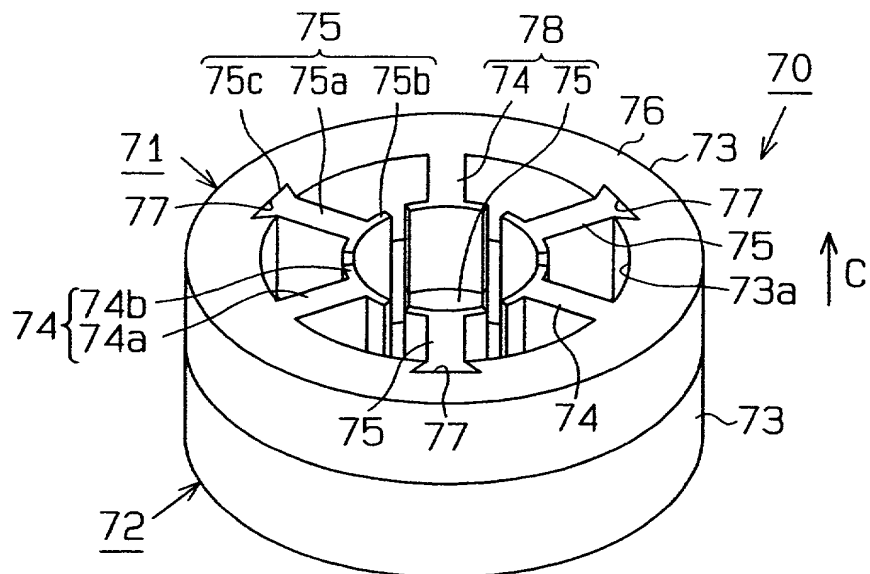


Fig. 45

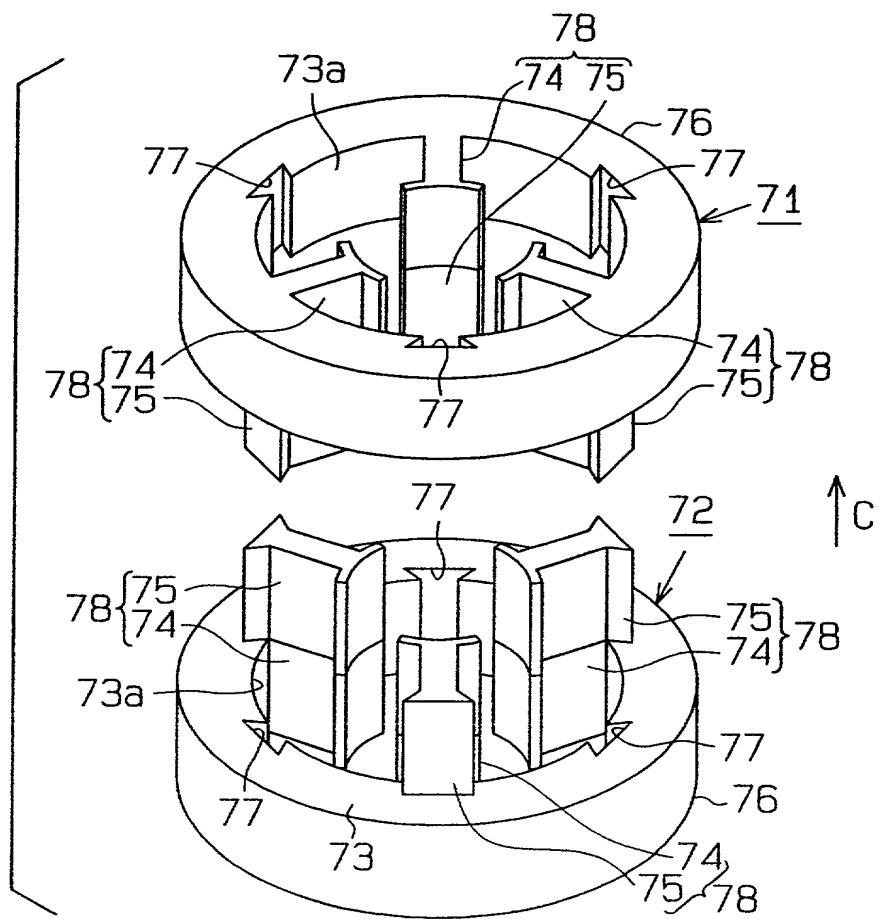


Fig. 46

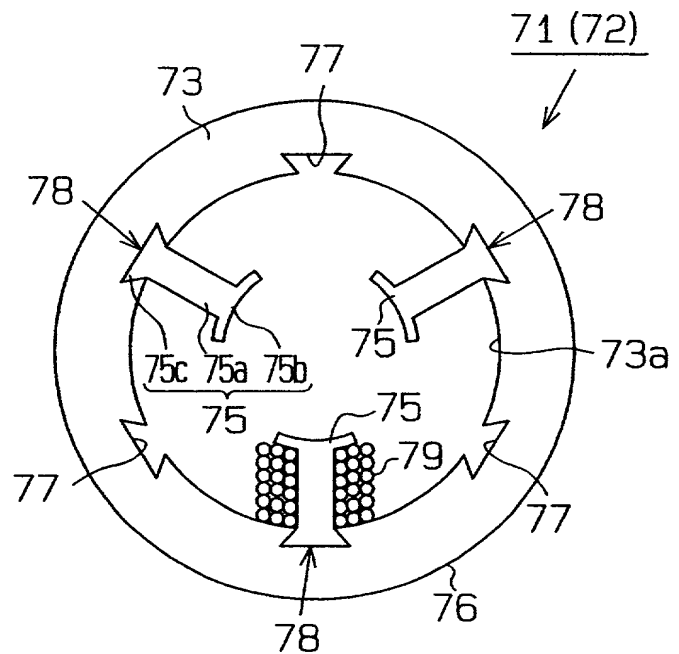


Fig. 47

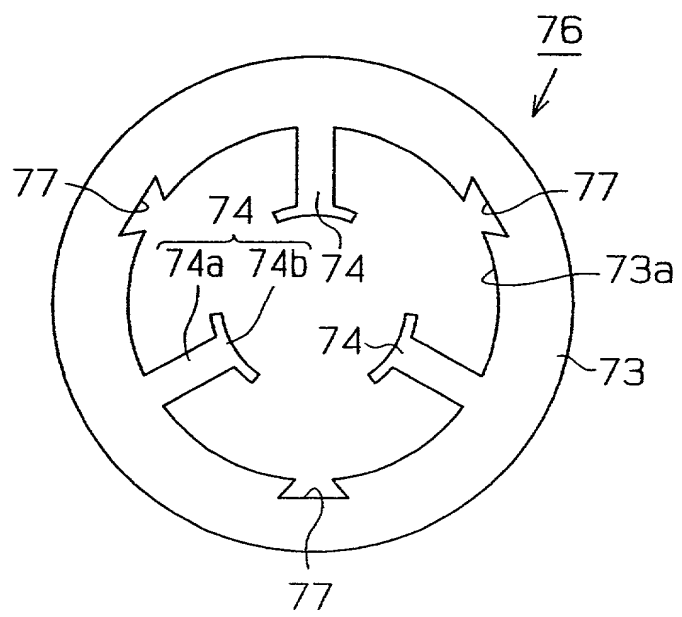


Fig. 48

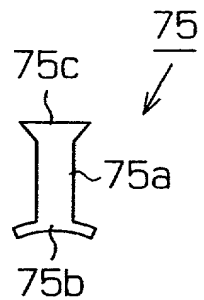


Fig. 49

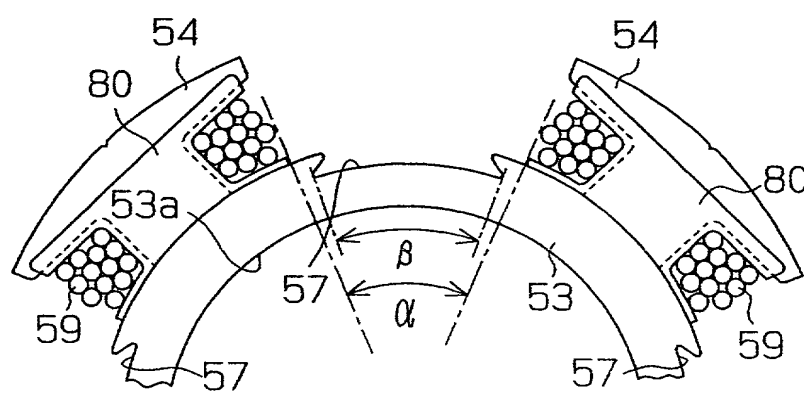
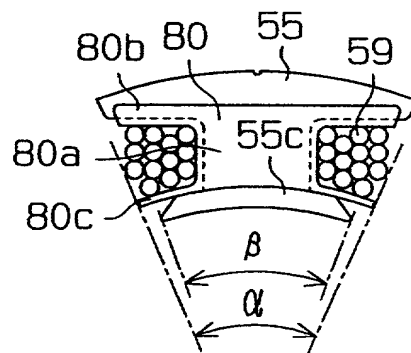


Fig.50

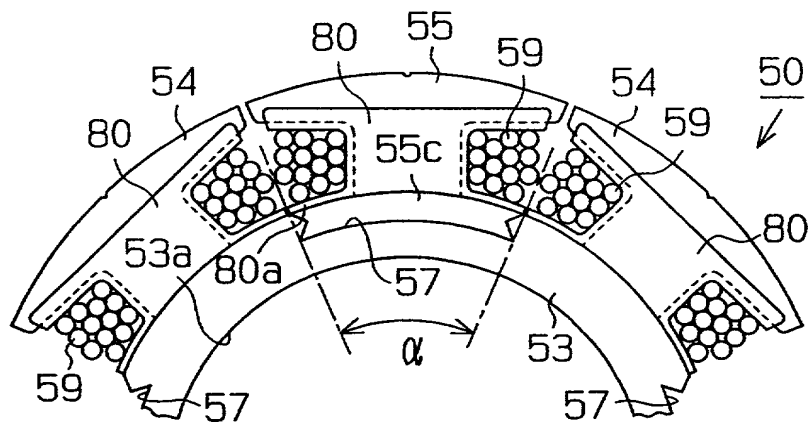


Fig.51

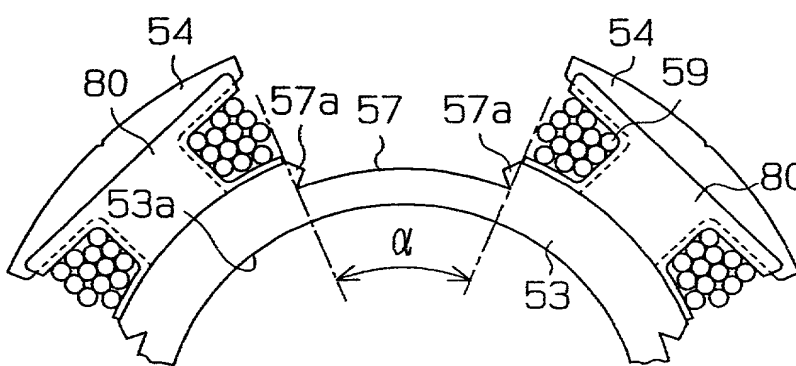
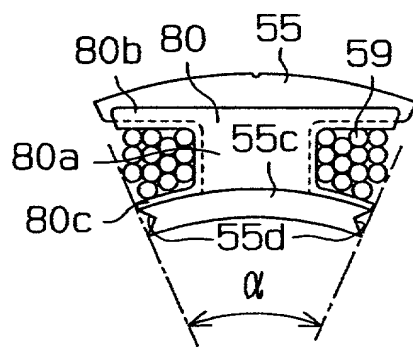


Fig.52

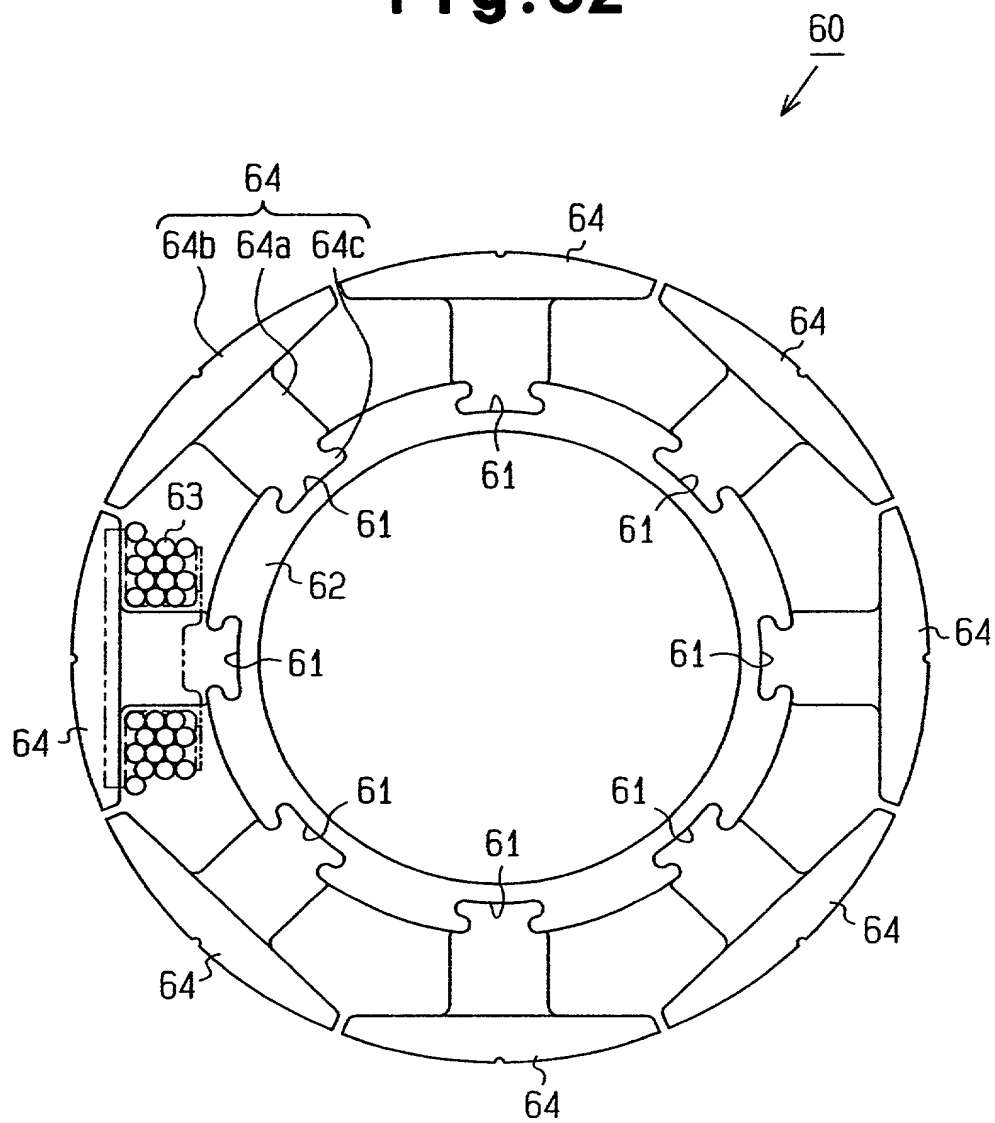


Fig.53

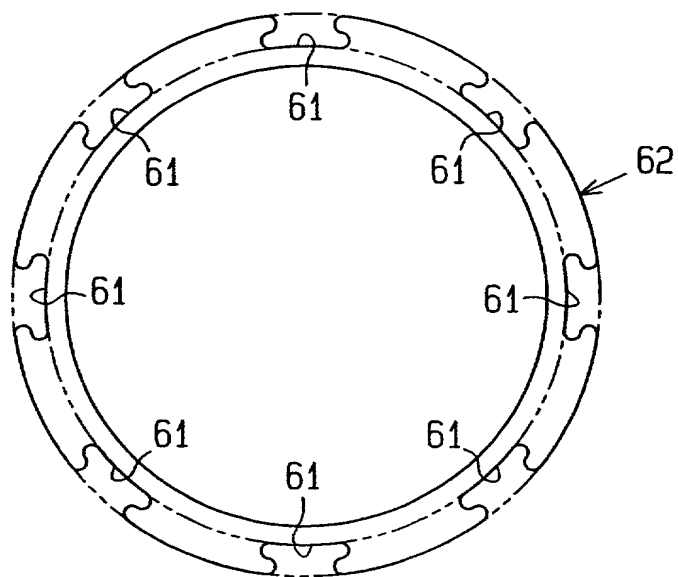


Fig.54

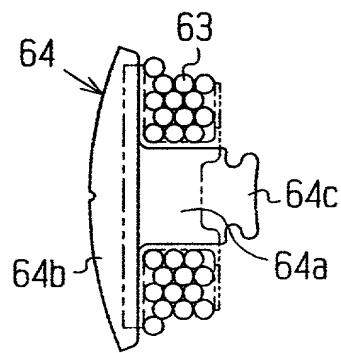


Fig.55

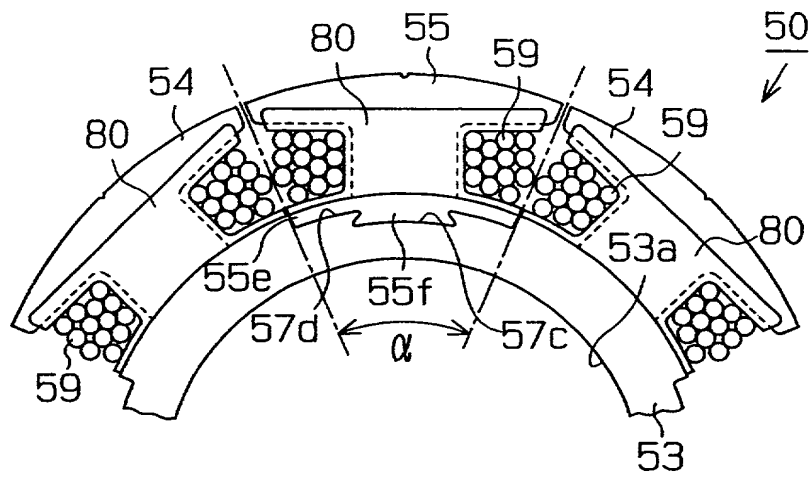


Fig.56

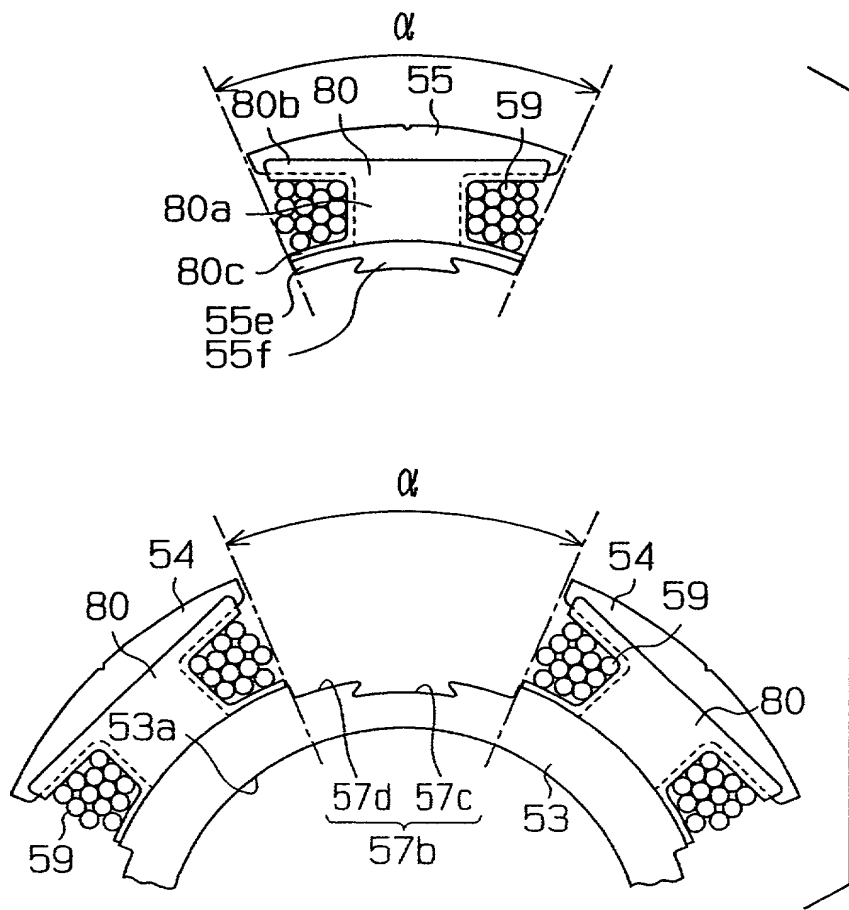


Fig. 57

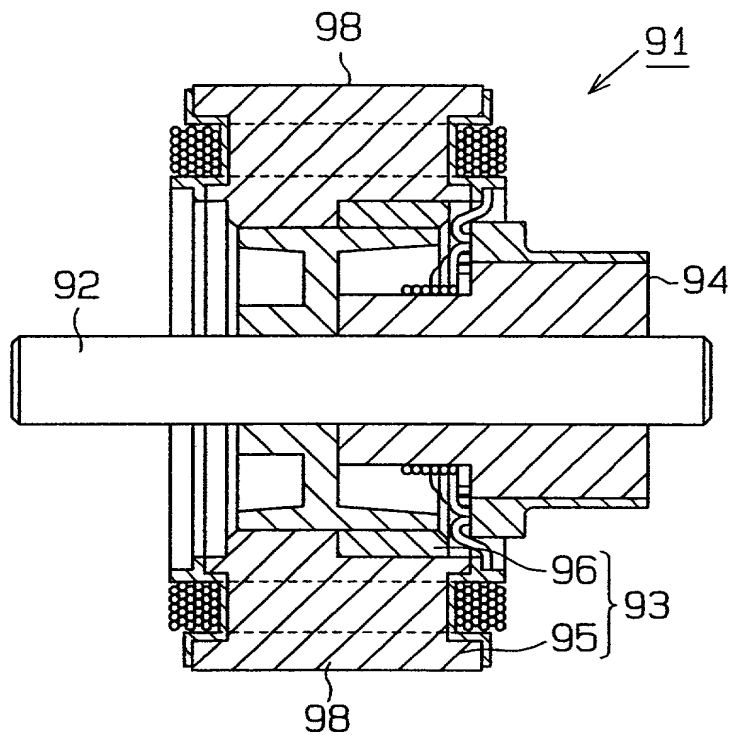


Fig. 58

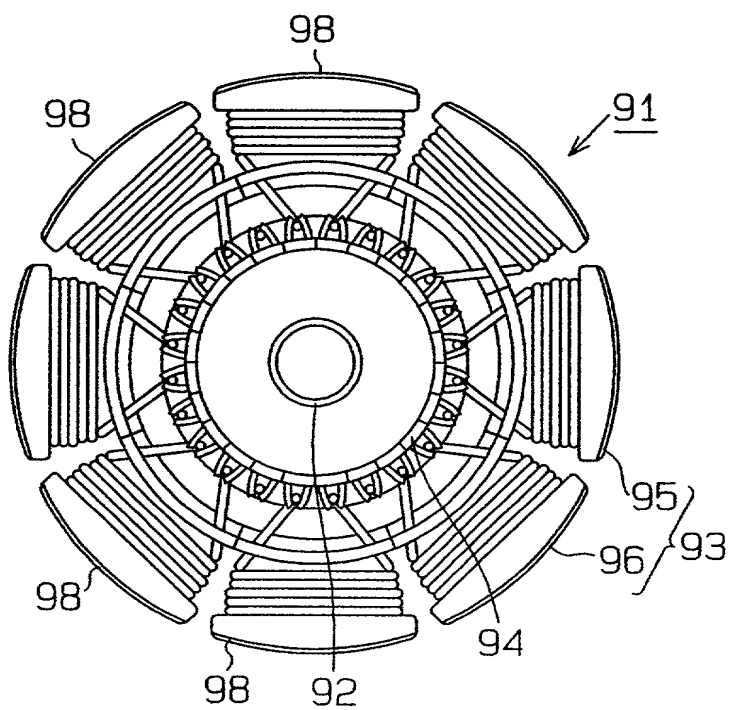


Fig. 59 (a)

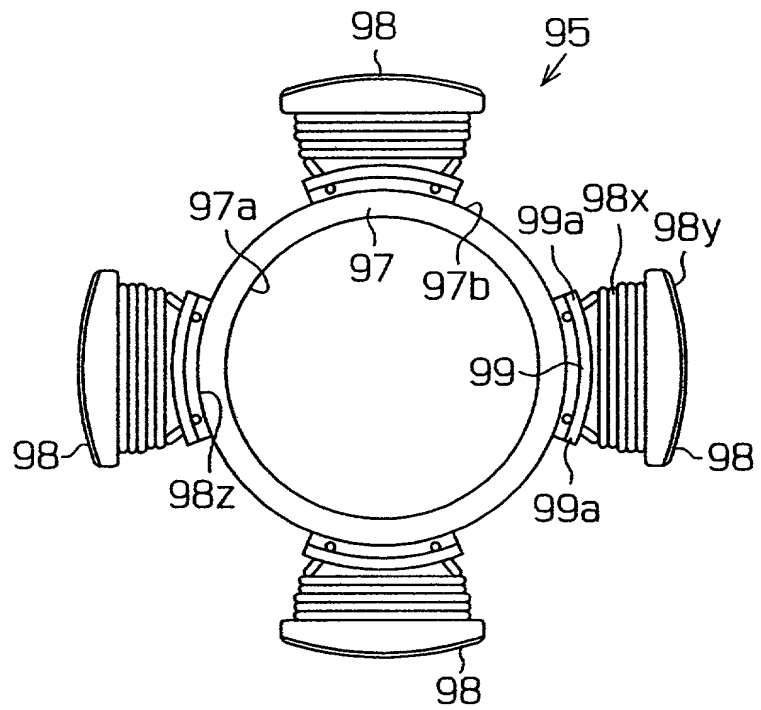


Fig. 59 (b)

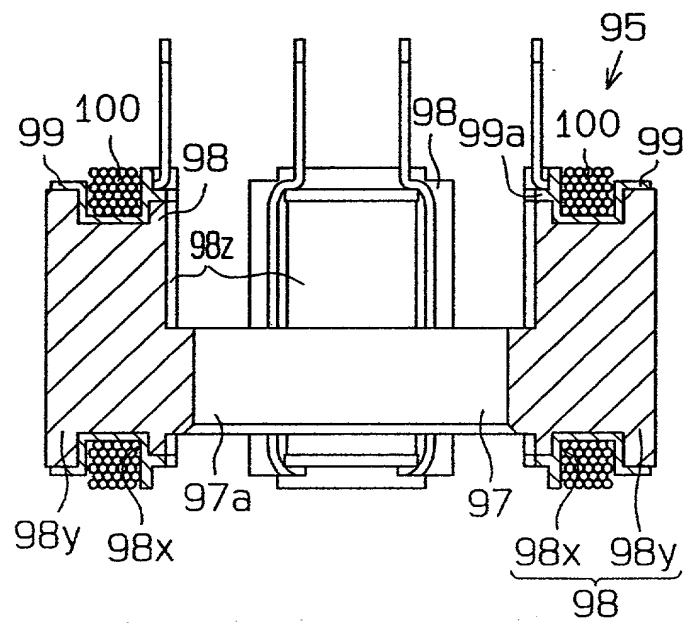


Fig. 60 (a)

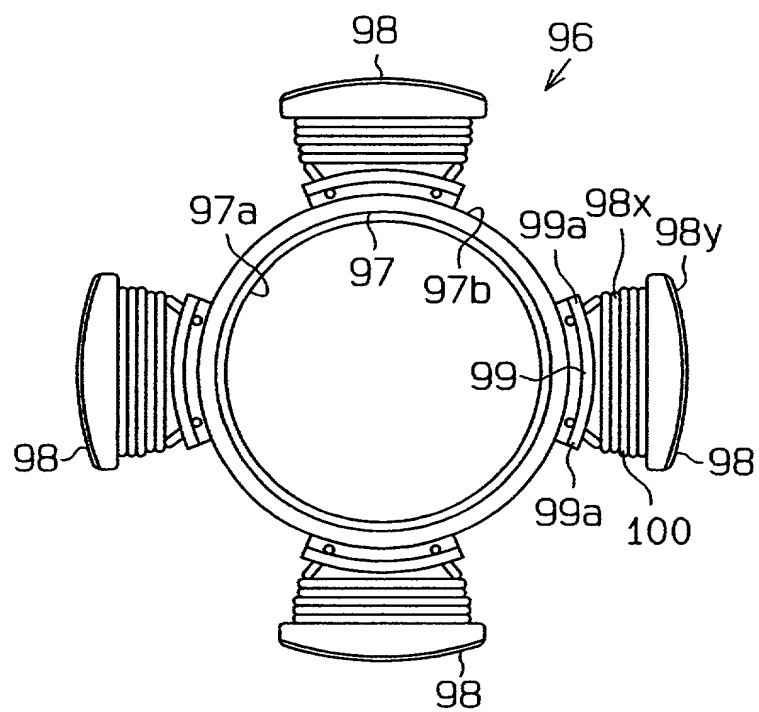


Fig. 60 (b)

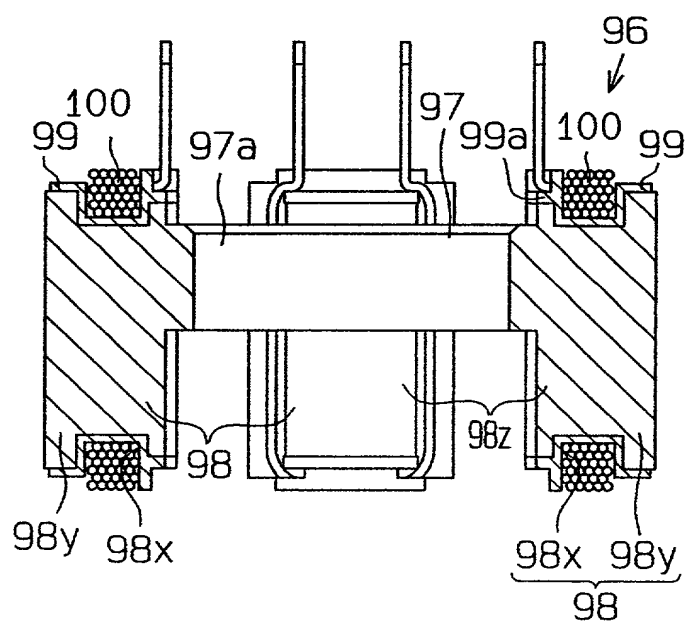


Fig. 61 (a)

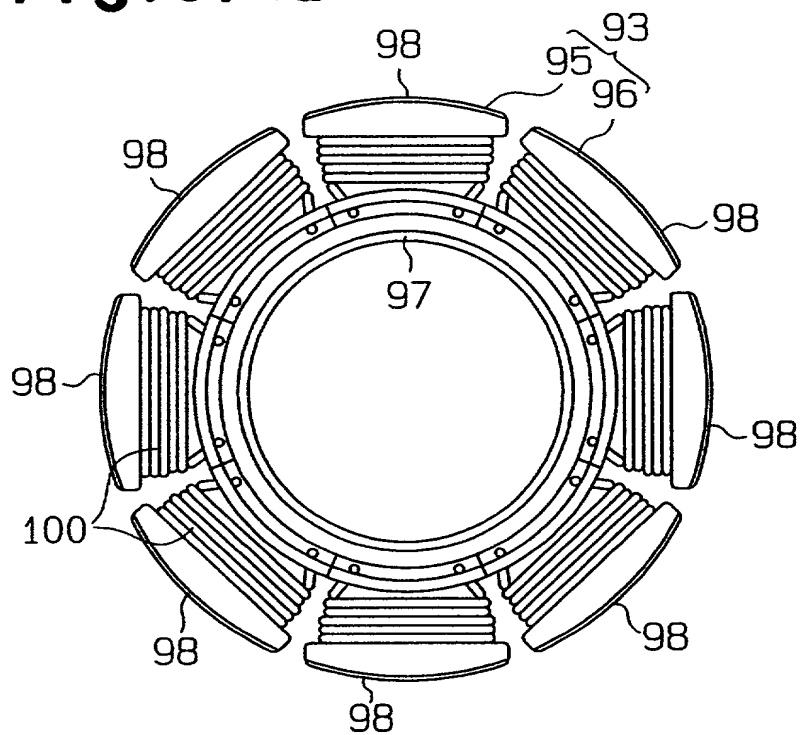


Fig. 61 (b)

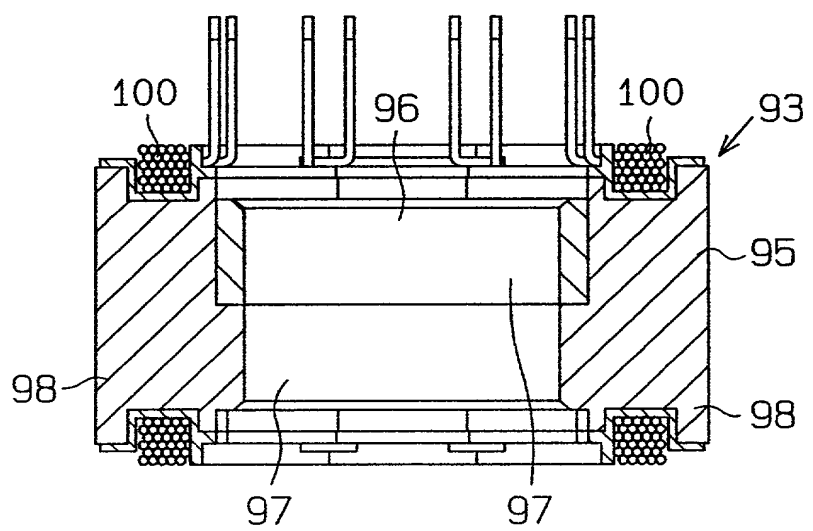


Fig. 62

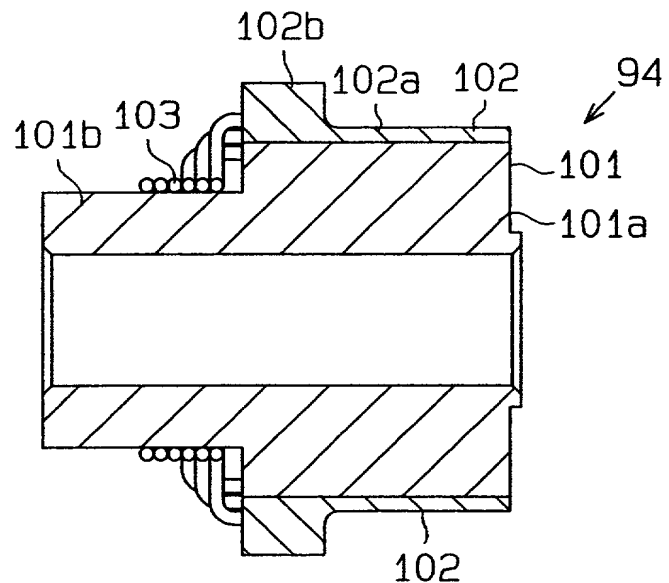


Fig. 63

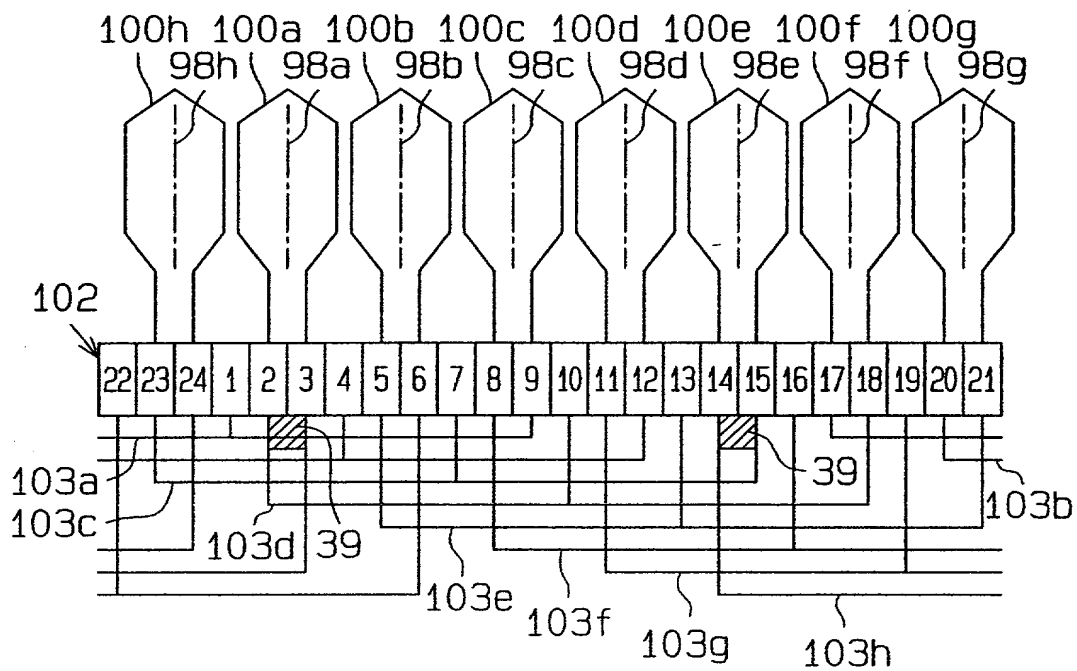


Fig. 64

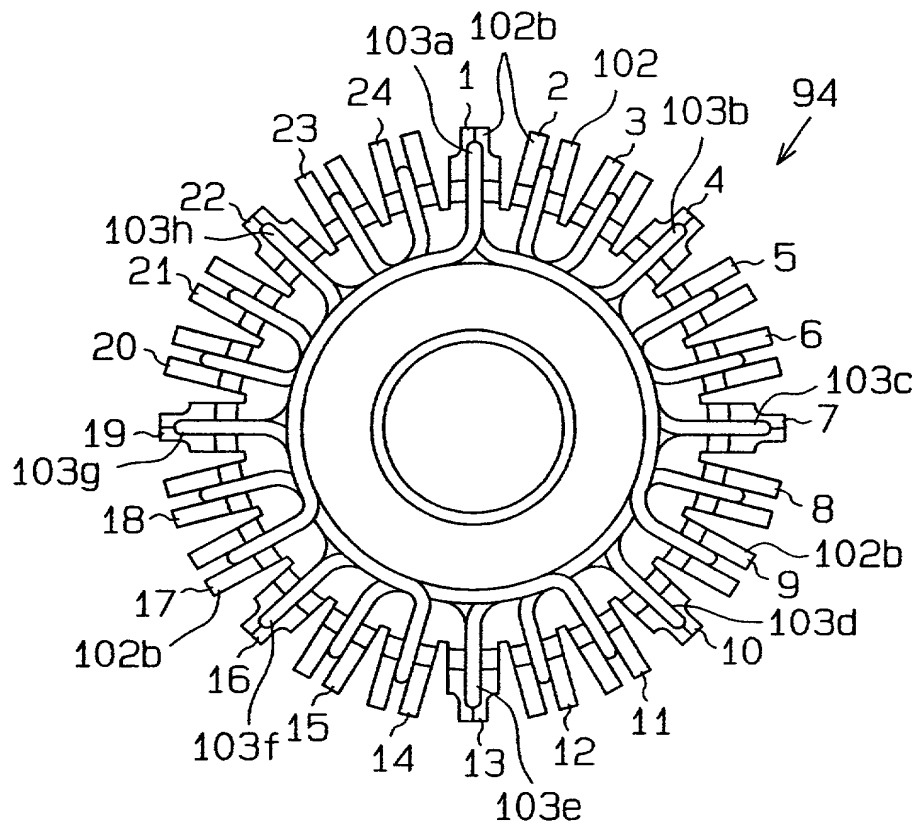


Fig. 65

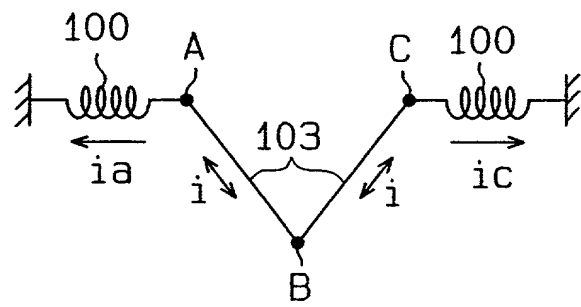


Fig. 66

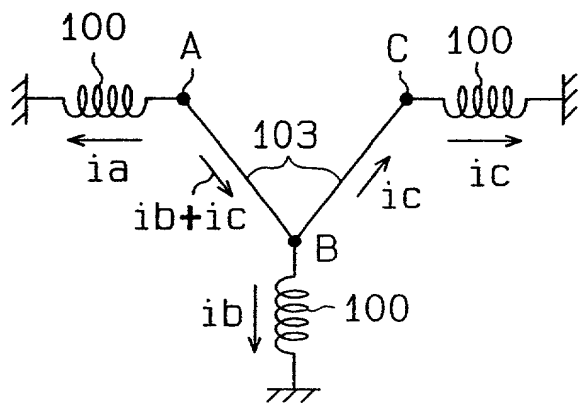


Fig.67 (a) (Prior Art)

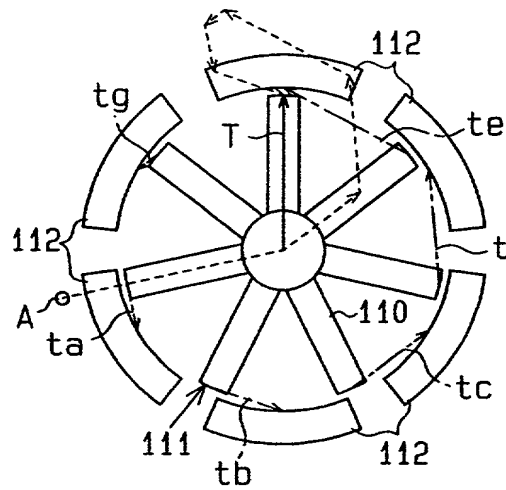


Fig.67 (d) (Prior Art)

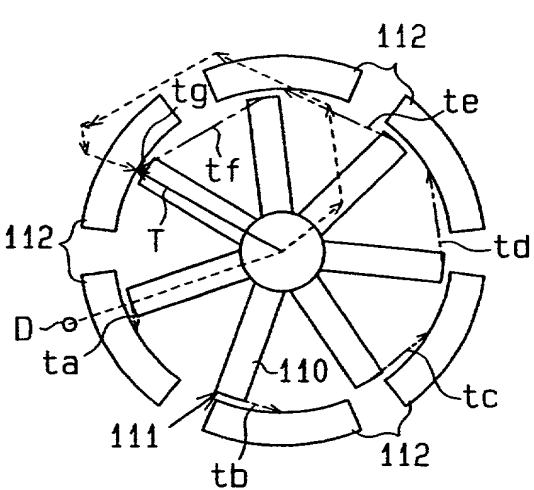


Fig.67 (b) (Prior Art)

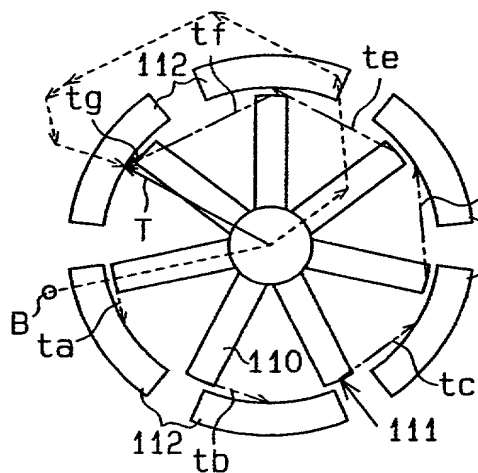


Fig.67 (e) (Prior Art)

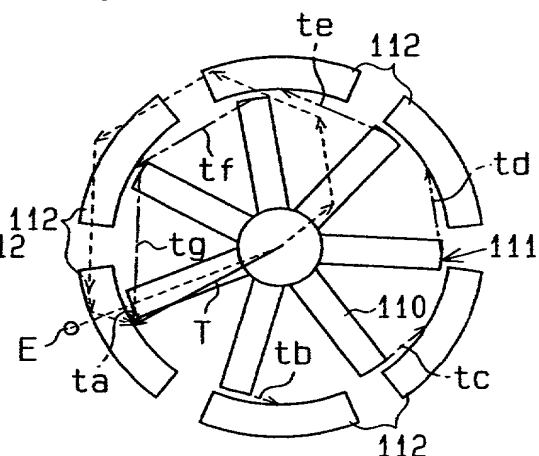


Fig.67 (c) (Prior Art)

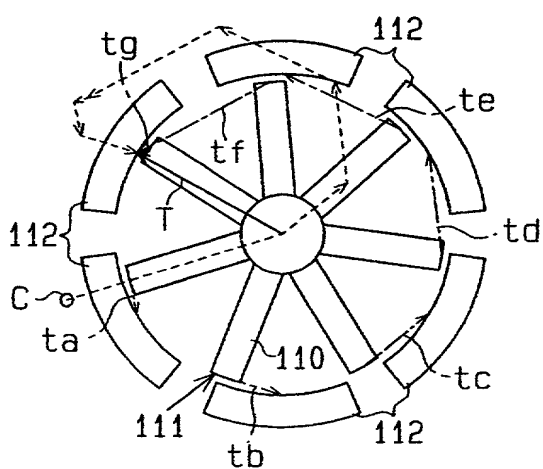


Fig.67 (f) (Prior Art)

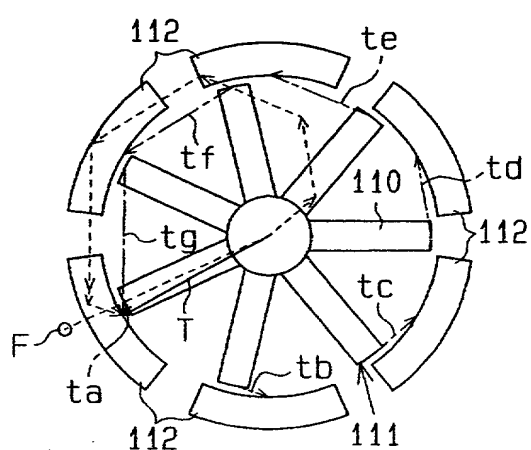


Fig.68 (Prior Art)

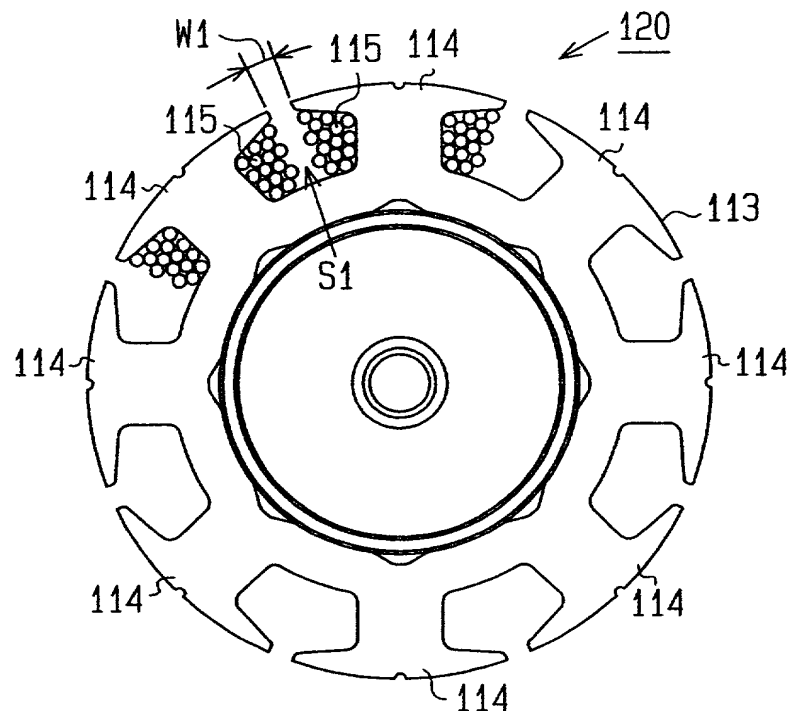


Fig.69 (Prior Art)

